

ФГБУ «Арктический и антарктический научно-исследовательский институт»

МЦД МЛ



Информационные материалы по мониторингу морского ледяного покрова
Арктики и Южного Океана на основе данных ледового картирования и
пассивного микроволнового зондирования SSMR-SSM/I-SSMIS-AMSR₂

06.01.2025 – 14.01.2025

№ 02(693)

Санкт-Петербург 2024

тел. +7(812)337-3149, эл. почта: yms@aari.aq

Адрес в сети Интернет: <http://wdc.aari.ru/datasets/do042/>

Содержание

Северное Полушарие	4
Рисунок 1а – Ледовая карта СЛО и повторяемость кромки за текущую неделю (цветовая окраска по общей сплоченности)
Рисунок 1б – Ледовая карта СЛО и повторяемость кромки за текущую неделю (цветовая окраска по преобладающему возрасту)
Рисунок 1в – Положение кромки льда и зон разреженных и сплоченных льдов СЛО за последний доступный срок на основе ледового анализа НЛЦ США	7
Рисунок 2а – Обзорная ледовая карта СЛО за текущую неделю и аналогичные периоды 2007-2019.
	10
Рисунок 2б – Поля распределения средневзвешенной толщины льда совместной модели морского льда – океана HYCOM/CICE Датского метеорологического института.....	11
Рисунок 2в – Поля распределения средней за 36-часовые промежутки температуры поверхности морского льда и океана Датского метеорологического института	12
Рисунок 2г – Поле дрейфа морского льда Арктики по расчетам МЦД МЛ ААНИИ, источник данных EUMETSAT OSISAF, AMSR-2.....	13
Рисунок 2д – Ежедневные оценки сезонного хода объема морского льда СЛО на основе расчетов средневзвешенной толщины льда совместной модели морского льда – океана HYCOM/CICE Датского метеорологического института.....	14
Рисунок 2е – Аномалии приземной температуры воздуха (2м) и осредненные вектора скорости ветра (10 м).....	15
Таблица 1 – Динамика изменения значений ледовитости для акваторий Северной полярной области за текущую неделю по данным наблюдений SSMR-SSM/I-SSMIS	18
Таблица 2 – Медианные значения ледовитости для Северной полярной области и 3-х меридиональных секторов за текущие 30 и 7-дневные интервалы и её аномалии от 2011-2016 гг. и интервалов 2006-2017 гг. и 1978-2017 гг. по данным наблюдений SSMR-SSM/I-SSMIS	17
Таблица 3 – Экстремальные и средние значения ледовитости для Северной полярной области и 3 меридиональных секторов за текущий 7-дневный интервал по данным наблюдений SSMR-SSM/I-SSMIS, алгоритм NASATEAM.....	17
Рисунок 3а – Ежедневные оценки сезонного хода ледовитости для Северной Полярной Области и её трех меридиональных секторов за период с 26.10.1978 по текущий момент времени по годам	20
Рисунок 3б – Ежедневные оценки сезонных изменений ледовитости для Северной Полярной Области с 26.10.1978 по текущий момент времени	21
Рисунок 4 – Медианные распределения сплоченности льда за текущие 7 дневные промежутки (слева) и её разности относительно медианного распределения за те же промежутки за периоды 1979-2020 (центр) и 2009-2020 гг. (справа) на основе расчетов по данным SSMR-SSM/I-SSMIS, алгоритмы NASATEAM.....
Южный океан	22
Рисунок 5 а,б – Ледовая карта Южного Океана за последний доступный срок (окраска по общей сплоченности и преобладающему возрасту).....	19,23
Рисунок 5в – Положение кромки льда и зон разреженных и сплоченных льдов Южного Океана за последний доступный срок на основе ледового анализа НЛЦ США	24
Рисунок 5д – Анализ ААНИИ крупных айсбергов Южного океана
Таблица 4 – Параметры крупных айсбергов Южного океана на основе анализа ААНИИ	23
Рисунок 7а – Ежедневные оценки сезонного хода ледовитости Южного Океана и его трёх меридиональных секторов за период с 26.10.1978 по текущий момент времени по годам	26
Рисунок 7б – Ежедневные оценки сезонного хода ледовитости Южного Океана и его трёх меридиональных секторов за период с 26.10.1978 по текущий момент времени	27
Рисунок 8 – Медианные распределения общей сплоченности льда за текущие 7 дневные промежутки (слева) и её разности относительно медианного распределения за тот же промежуток за периоды 1979-2020 (центр) и 2009-2020 гг. (справа) на основе расчетов по данным SSMR-SSM/I-SSMIS, алгоритм NASATEAM.....
Таблица 5 – Динамика изменения значений ледовитости для акваторий Южного океана за текущий 7-дневный интервал по данным наблюдений SSMR-SSM/I-SSMIS	28
Таблица 6 – Медианные значения ледовитости для Южного океана и 3 меридиональных секторов за текущие 30 и 7-дневные интервалы и её аномалии от 2011-2016 гг. и интервалов 2007-2017 гг. и 1978-2017 гг. по данным наблюдений SSMR-SSM/I-SSMIS, алгоритм NASATEAM	28

Таблица 7 – Экстремальные и средние значения ледовитости для Южного океана и 3 меридиональных секторов за текущий 7-дневный интервал по данным наблюдений SSMR-SSM/I-SSMIS, алгоритм NASATEAM.....	28
Земля в целом	
Рисунок 9 – Ежедневные сглаженные окном 365 суток значения ледовитости Арктики, Антарктики и Земли в целом с 26.10.1978 на основе SSMR-SSM/I-SSMIS	29
Рисунок 10 – Ежедневные сглаженные окном 365 суток значения приведенной ледовитости Арктики, Антарктики и Земли в целом с 26.10.1978 на основе SSMR-SSM/I-SSMIS	30
Рисунок 11 – Ежедневные сглаженные окном 365 суток значения общей сплоченности Арктики и Антарктики с 26.10.1978 на основе SSMR-SSM/I-SSMIS	
Приложение 1 – Статистические значения ледовитостей по отдельным акваториям Северной Полярной Области и Южного океана	32
Таблица 8 – Средние, аномалии среднего и экстремальные значения ледовитостей для Северной полярной области и её отдельных акваторий за текущие 7-дневный (неделя) и 30-дневный промежутки времени по данным наблюдений SSMR-SSM/I-SSMIS, алгоритм NASATEAM за период 1978-2017 гг.....	32
Таблица 9 – Средние, аномалии среднего и экстремальные значения ледовитостей для Южного океана и его отдельных акваторий за текущие 7-дневный и 30-дневный промежутки времени по данным наблюдений SSMR-SSM/I-SSMIS, алгоритм NASATEAM за период 1978-2017	32
Таблица 10 – Динамика изменения значений ледовитости по сравнению с предыдущей неделей для морей Северной полярной области и Южного океана за текущий 7-дневный (неделя) промежуток времени по данным наблюдений SSMIS	
Характеристика исходного материала и методика расчетов	32
Список источников	42

Северное Полушарие

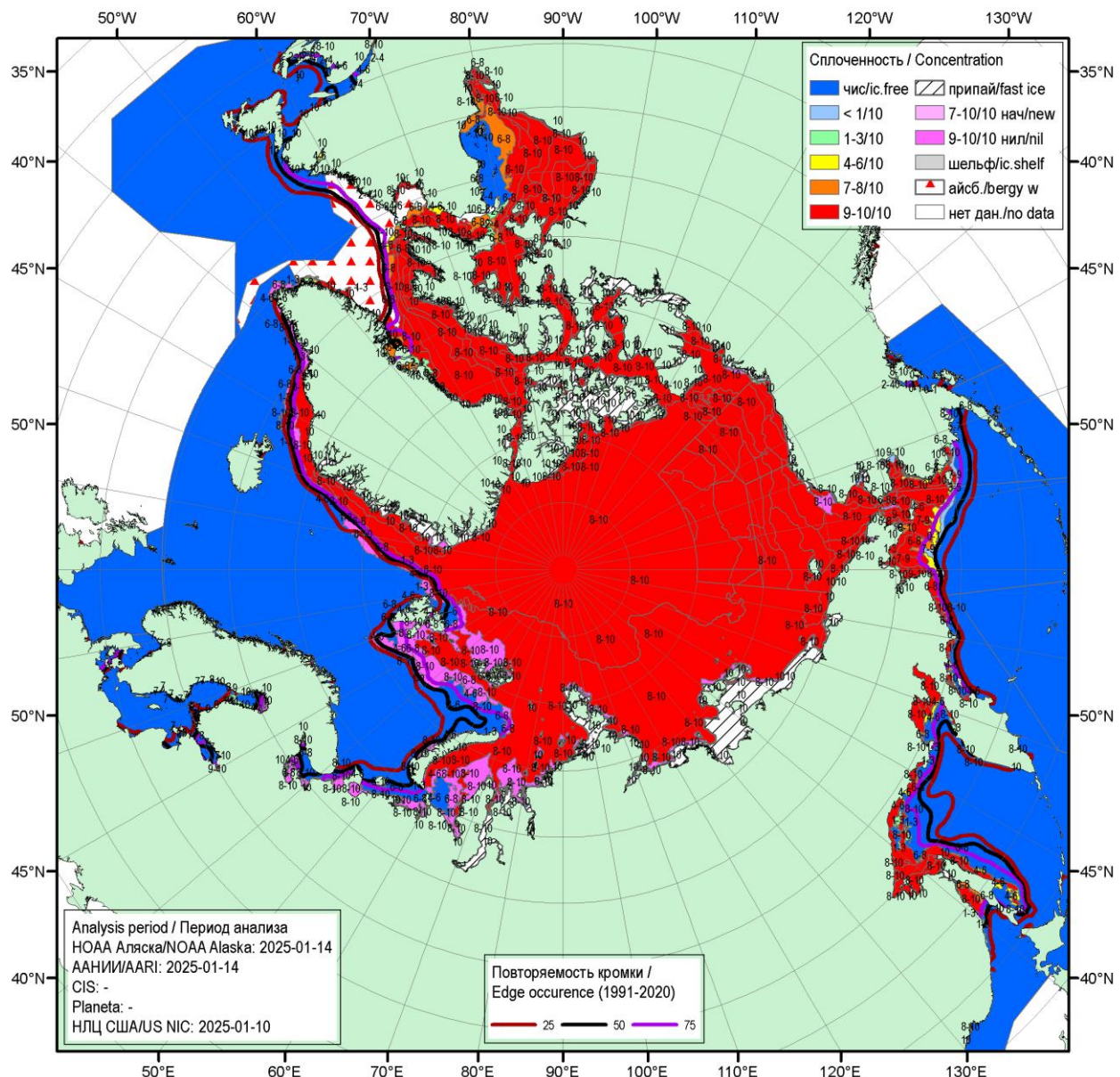


Рисунок 1а – Обзорная ледовая карта СЛО за 2025.01.10 – 2025.01.14 г. (цветовая раскраска по общей сплощенности) на основе ледового анализа HOAA Аляска (14.01.2025), ААНИИ (14.01.2025), НИЦ Планета (-), Национального ледового центра США (10.01.2025) и повторяемость кромки за 11-15.01 за период 1991-2020 гг. по наблюдениям SSMR-SSM/I-SSMIS (алгоритм NASATEAM).

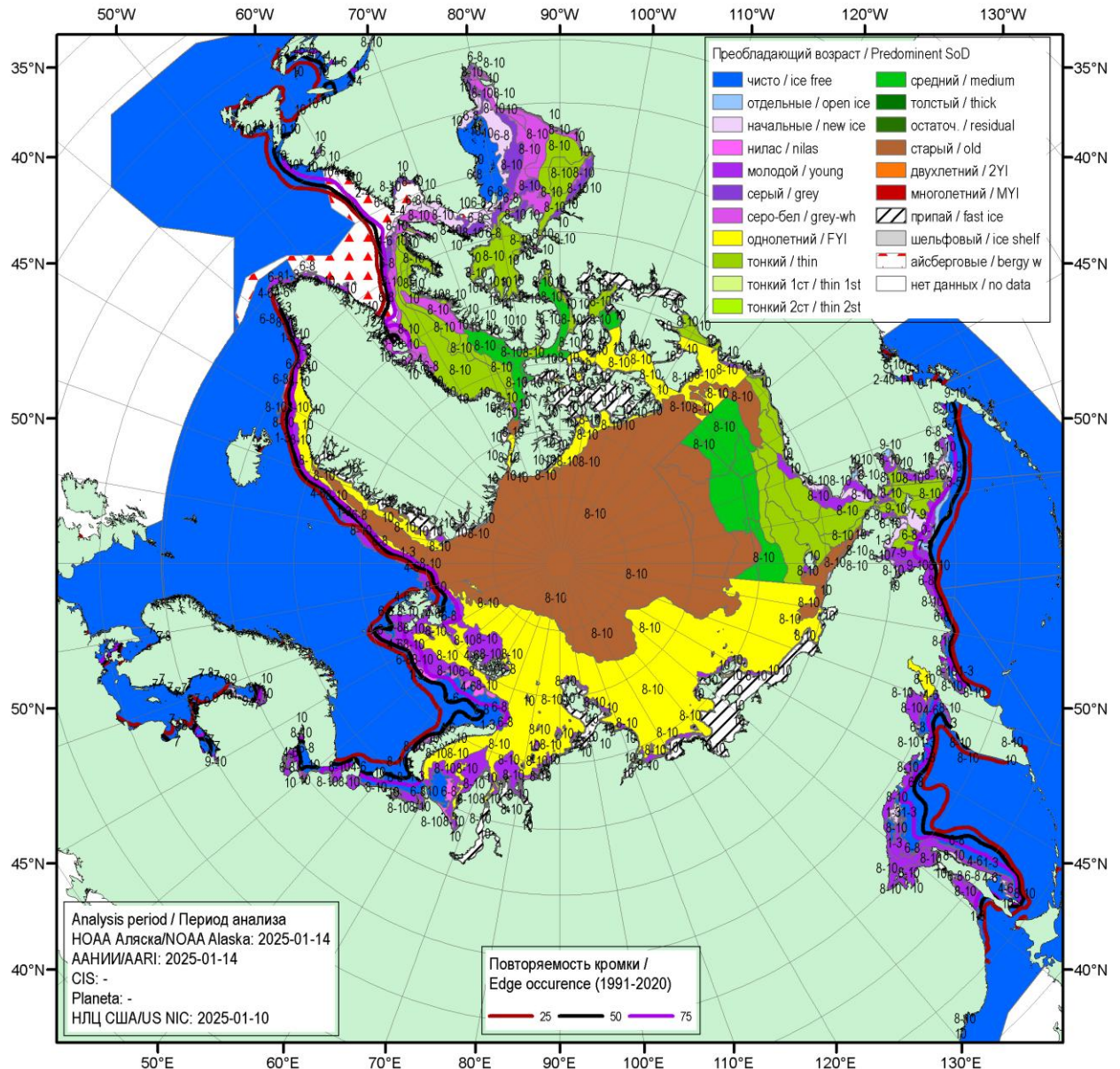


Рисунок 16 – Обзорная ледовая карта СЛО за 2025.01.10 – 2025.01.14 г. (цветовая раскраска по преобладающему возрасту) на основе ледового анализа NOAA Аляска (14.01.2025), ААНИИ (14.01.2025), НИЦ Планета (-), Национального ледового центра США (10.01.2025) и повторяемость кромки за 11-15.01 за период 1991-2020 гг. по наблюдениям SSMR-SSM/I-SSMIS (алгоритм NASATEAM).

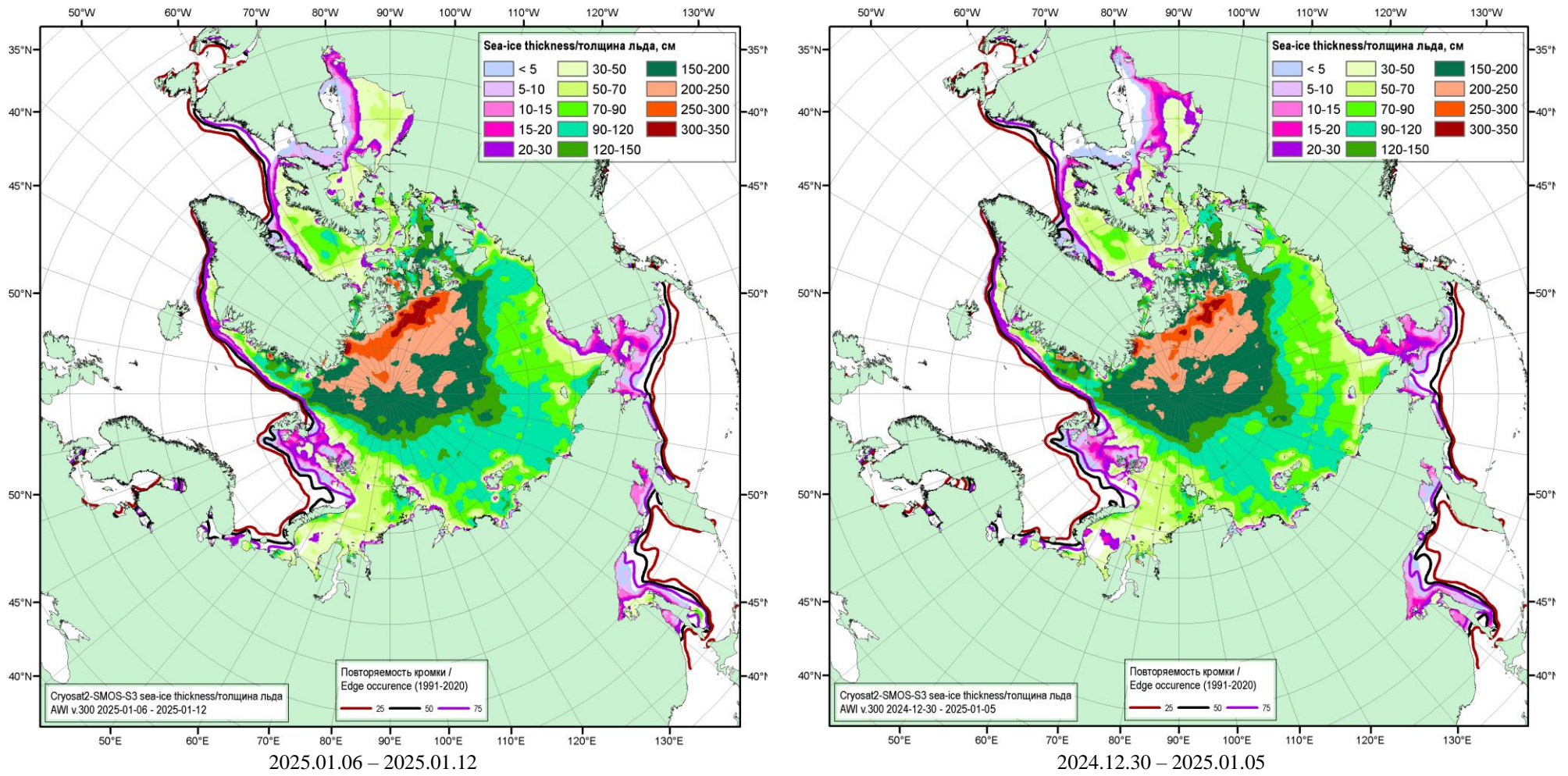


Рисунок 1в - Оценка толщины льда на основе данных ИСЗ CryoSat-2-SMOS-S3 за текущий и предыдущий 7-дневные интервалы (AWI, ver.300) и повторяемость кромки за соответствующие 5-дневные промежутки за период 1991-2020 гг. по наблюдениям SSMR-SSM/I-SSMIS (алгоритм NASA TEAM).

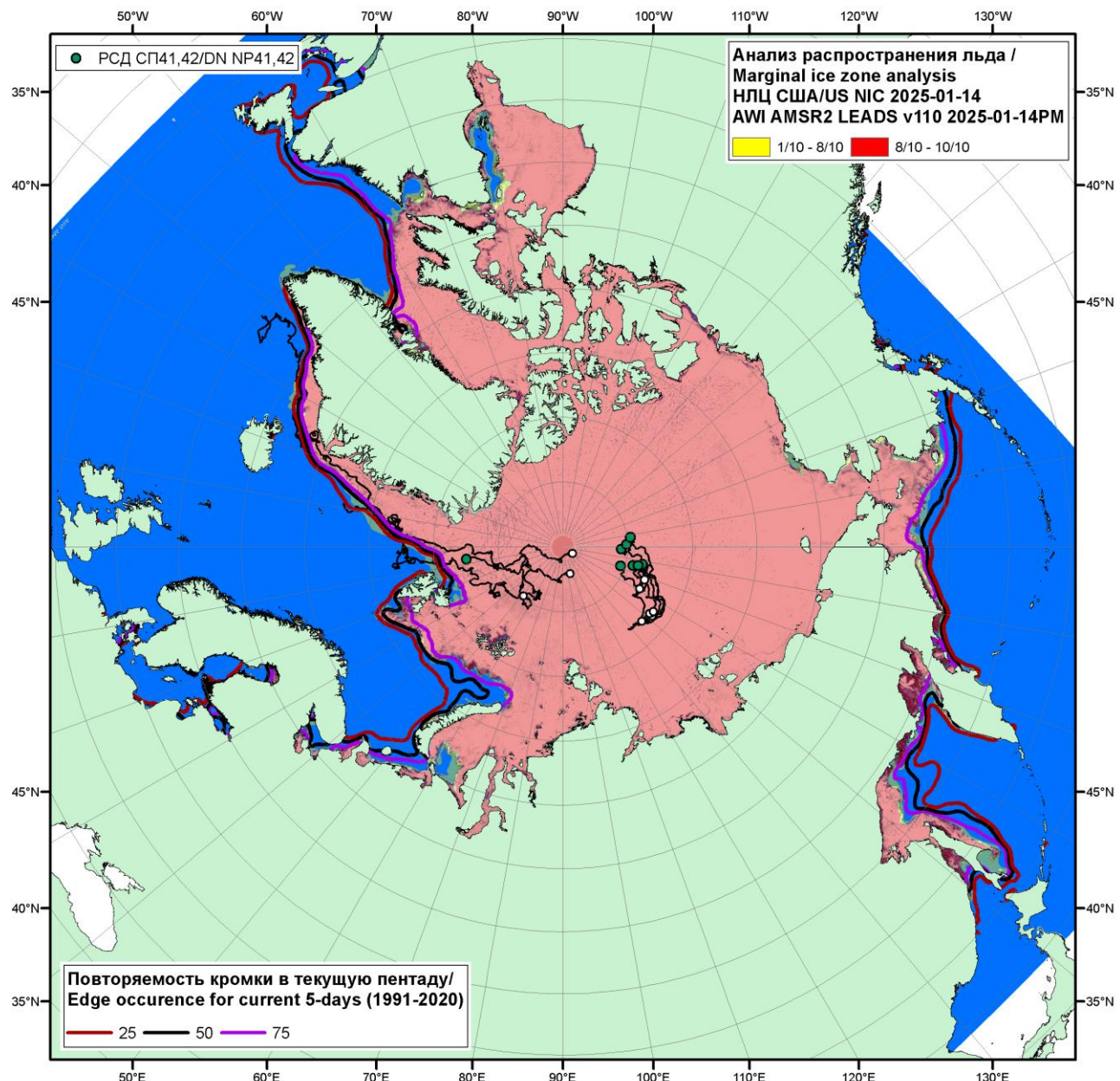


Рисунок 1г – Положение кромки льда и зон разреженных ($<8/10$) и сплоченных ($\geq 8/10$) льдов СЛО за 14.01.2024 г. на основе ледового анализа Национального Ледового Центра США и повторяемость кромки за 11-15.01 за период 1991-2020 гг. по наблюдениям SSMR-SSM/I-SSMIS (алгоритм NASATEAM), совмещенное с положением разрежений на основе данных ИСЗ AMSR2 14.01.2025 (AWI, v110).

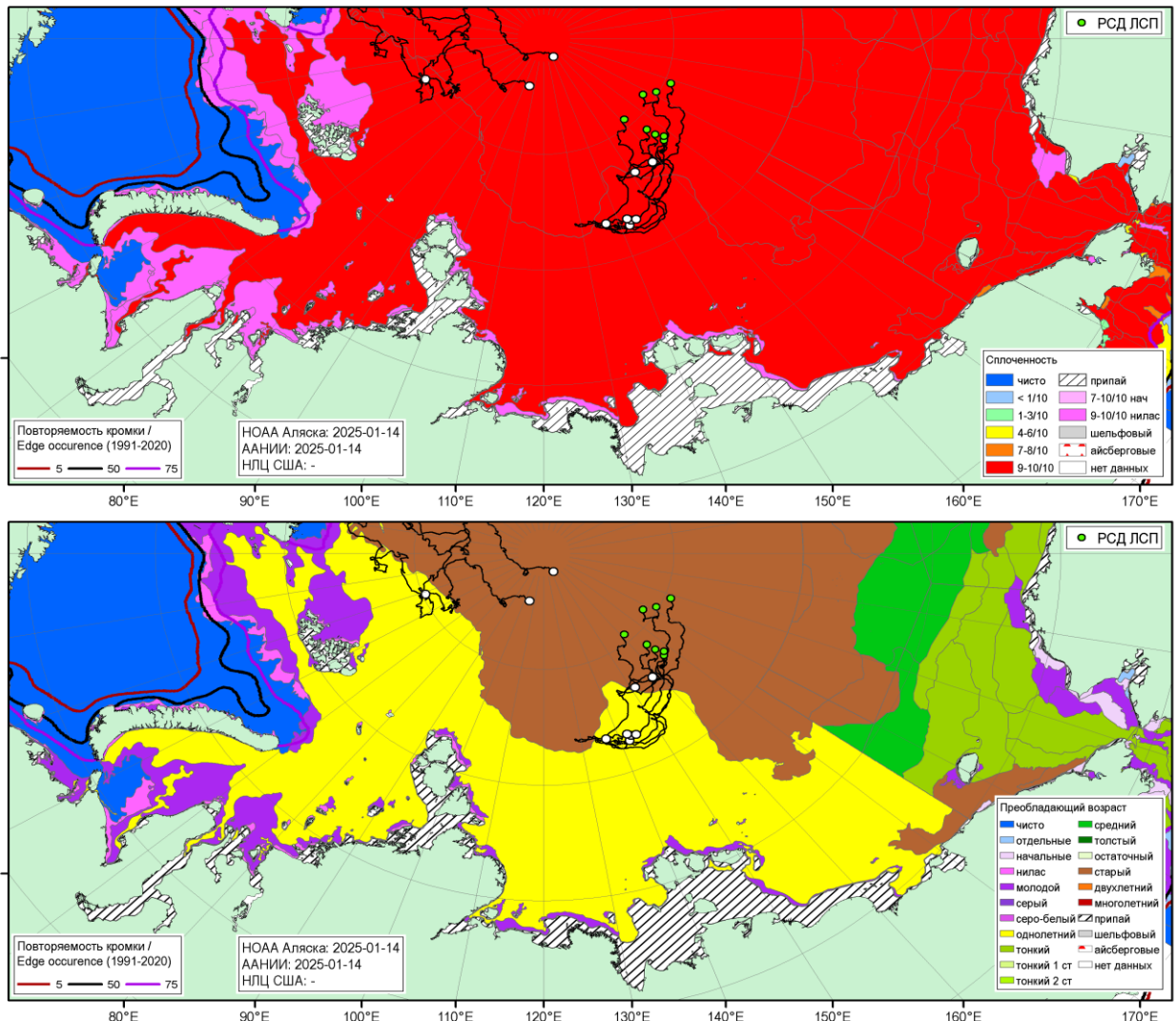


Рисунок 1д – Обзорная ледовая карта СМИ за 2025.01.14 г. на основе ледового анализа НОАА Аляска (14.01.2025), ААНИИ (14.01.225), НИЦ Планета (-), Национального ледового центра США (10.01.2025), повторяемость кромки за 11-15.01 за период 1991-2020 гг. по наблюдениям SSMR-SSM/I-SSMIS (алгоритм NASATEAM) и положение РСД СП-42 на 10МСК 15.01.2025

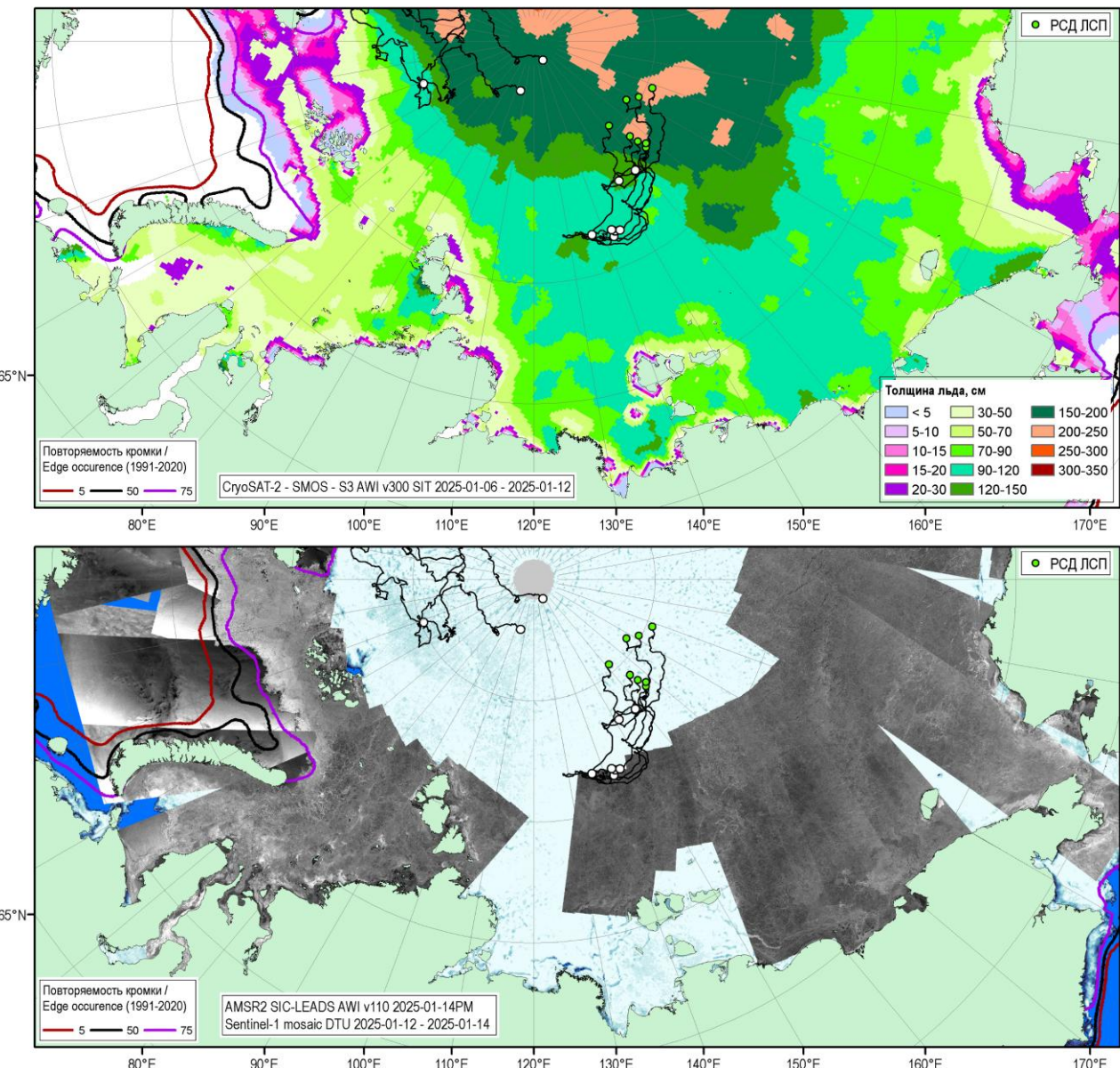


Рисунок 1е - Оценка толщины льда на основе данных ИСЗ CryoSat-2-SMOS-S3 за 06.01.2025-12.01.2025 (AWI, ver.300), мозаика радиолокационных снимков ИСЗ Sentinel-1A за 12-14.01.2025 (DTU), оценка положения полыней на основе данных AMSR2 (AWI v110) за 14.01.2025, повторяемость кромки за 11-15.01 за период 1991-2020 гг. по наблюдениям SSMR-SSM/I-SSMIS (алгоритм NASATEAM) и положение РСД СП-42 на 10МСК 15.01.2025

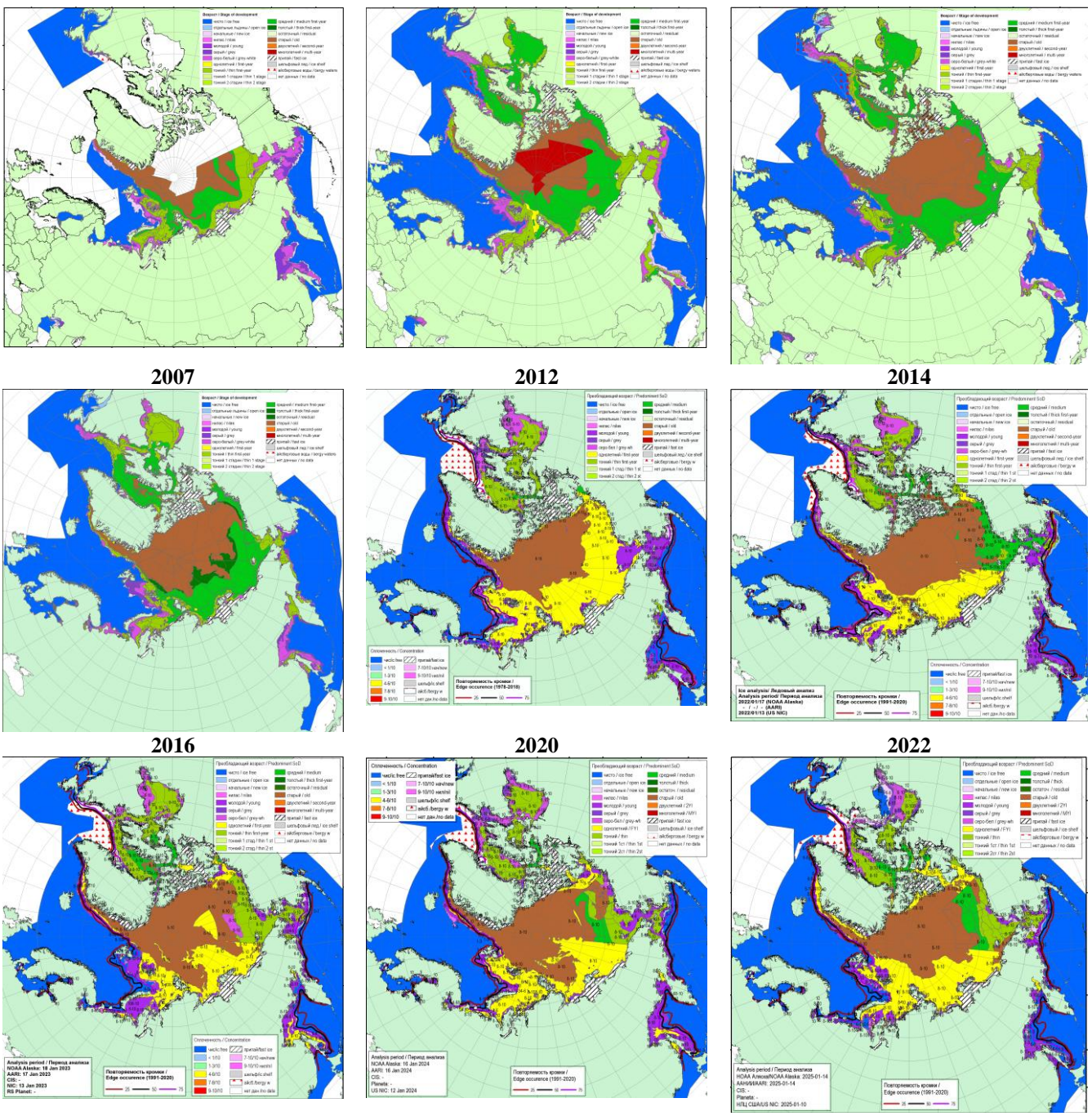


Рисунок 2а – Ледовые условия за 10.01 - 14.01.2025. и аналогичные периоды 2007-2024 гг. на основе ледового анализа ААНИИ, НИЦ Планета, Канадской ледовой службы, Национального ледового центра США и NOAA Аляска.

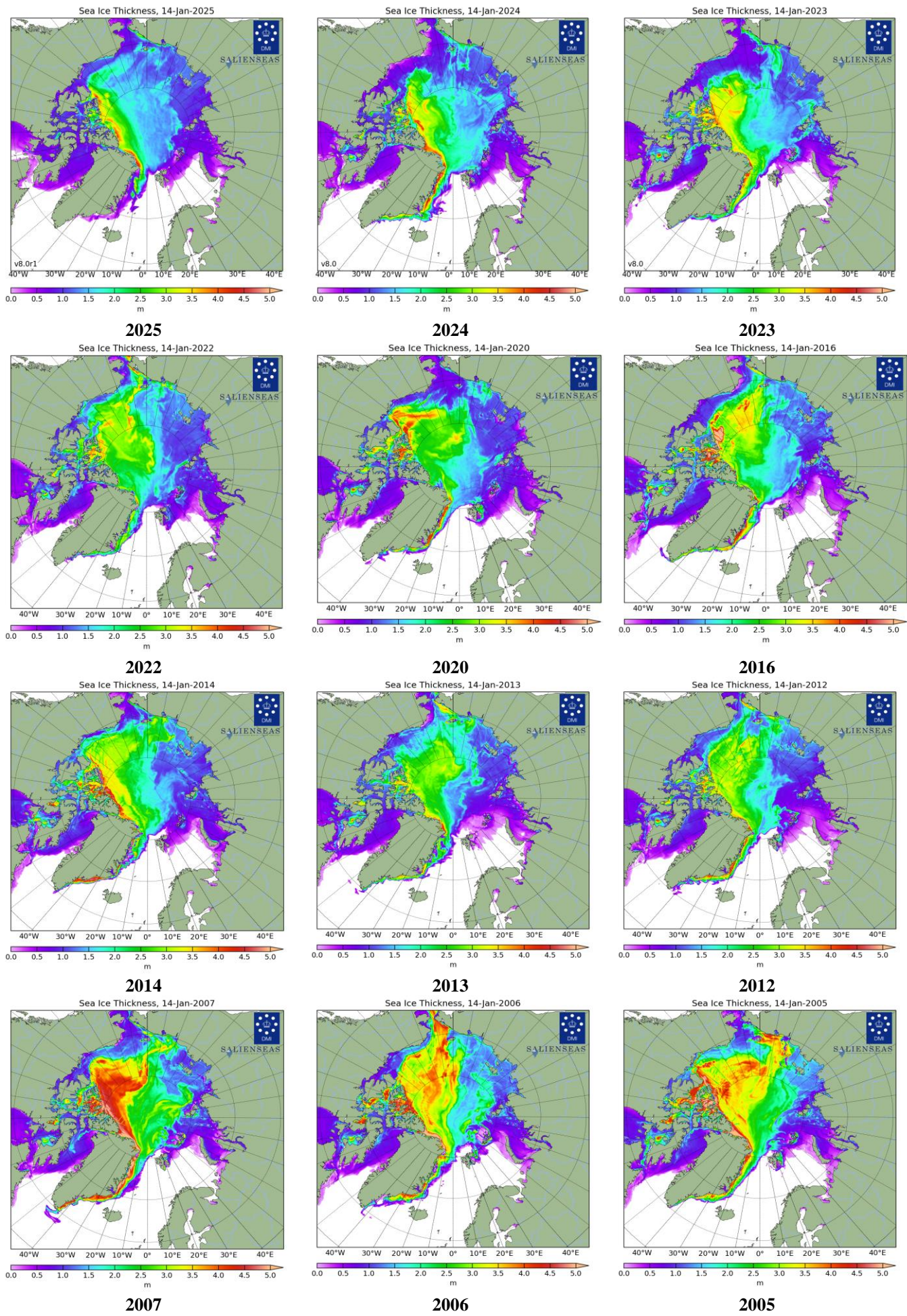


Рисунок 26 – Поля распределения средневзвешенной толщины льда совместной модели морского льда – океана HYCOM/CICE Датского метеорологического института 14.01 за 2005-2025 гг.

12 January 2025

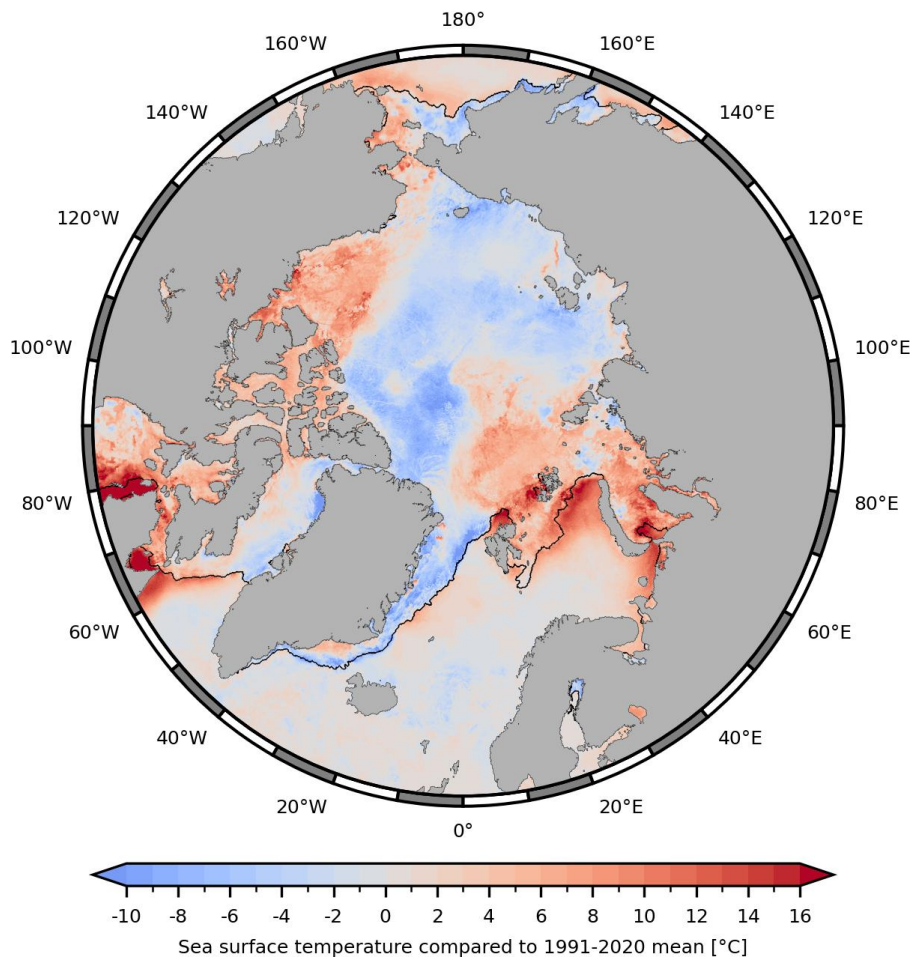


Рисунок 2в – Аномалия температуры поверхности морского льда и океана (к периоду 1991-2020 гг.)
Датского метеорологического института за 10-12.01.2025 гг. (<http://polarportal.dk/en/sea-ice-and-icebergs/sea-ice-temperature/#c8099>)

Ice drift speed for 20250107T1200-20250114T1200

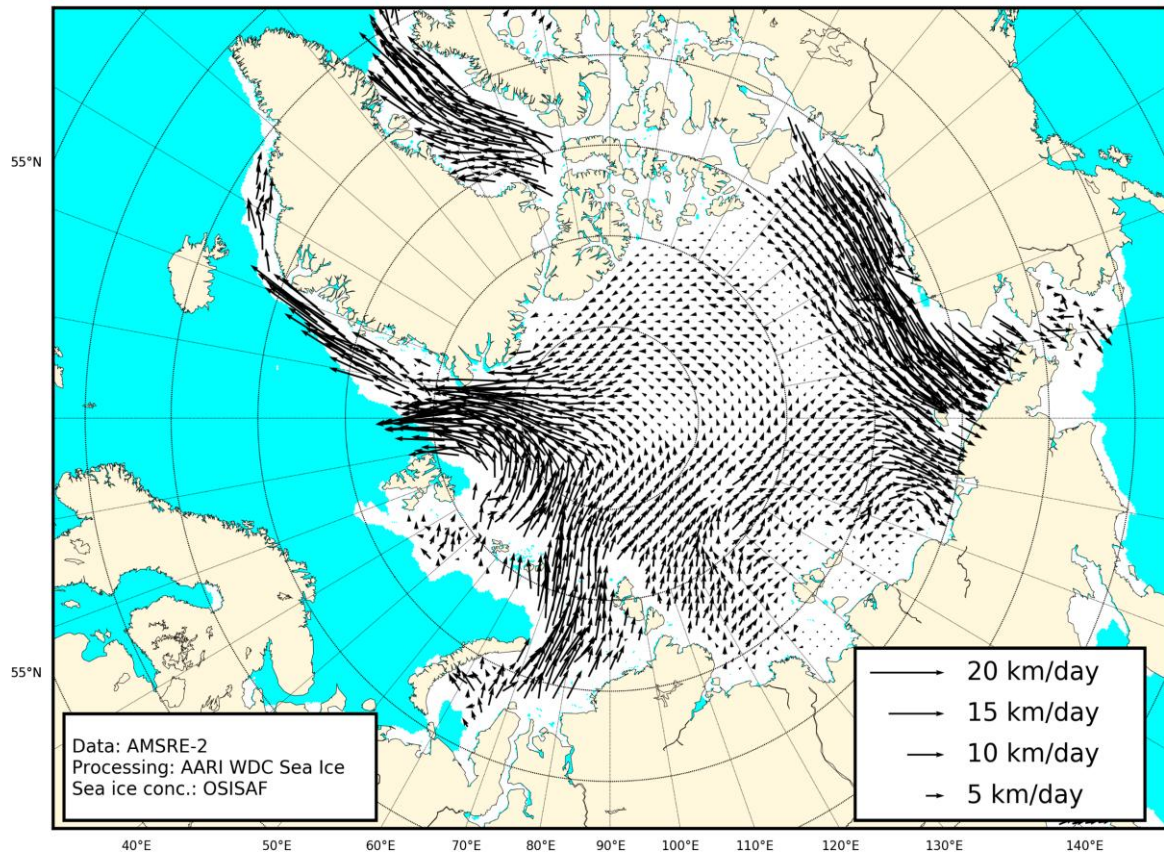


Рисунок 2г – Поле дрейфа морского льда Арктики за последнюю неделю, источник OSI SAF EUMETSAT.

Arctic Sea Ice Volume, 14-Jan-2025

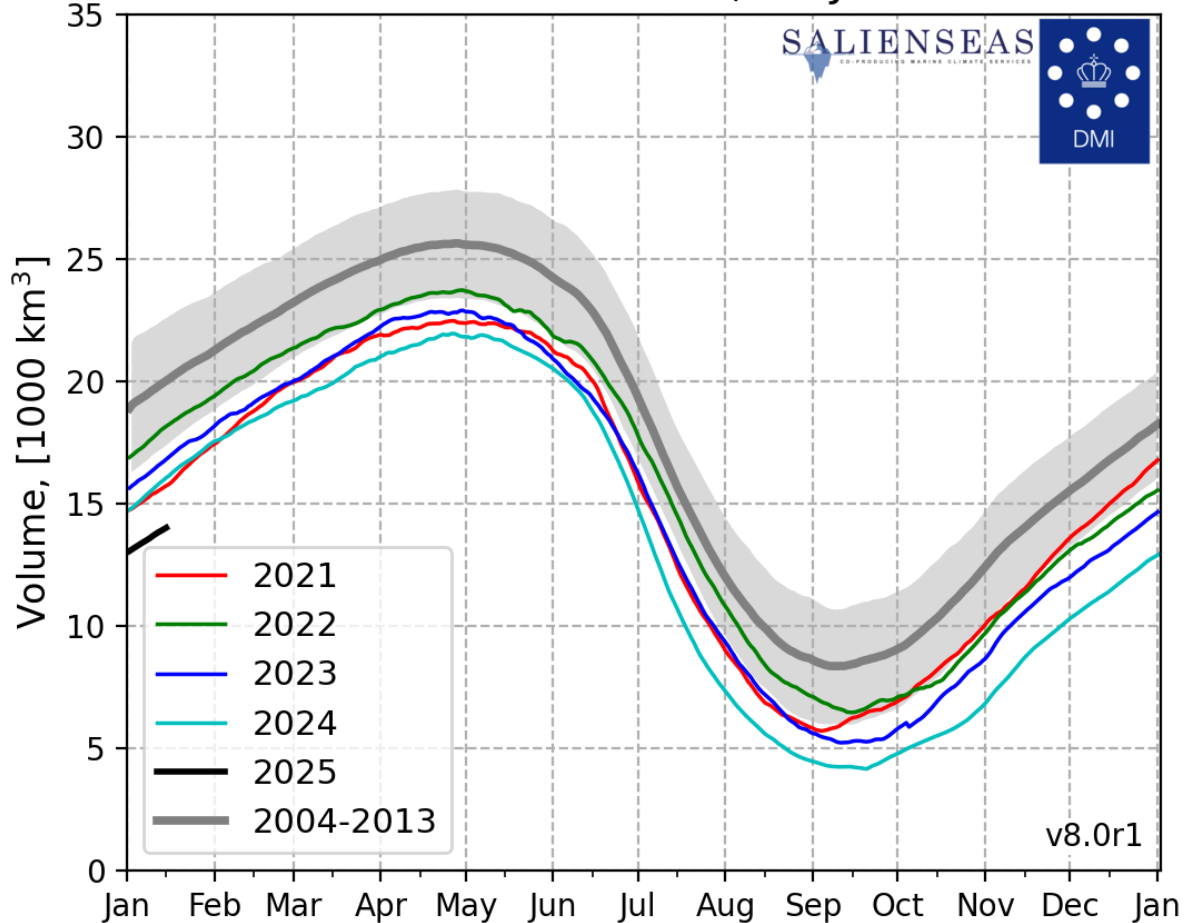


Рисунок 2д – Ежедневные оценки сезонного хода объема морского льда СЛО на основе расчетов средневзвешенной толщины льда совместной модели морского льда – океана HYCOM/CICE Датского метеорологического института с 28.02.2004 по 14.01.2025 гг.

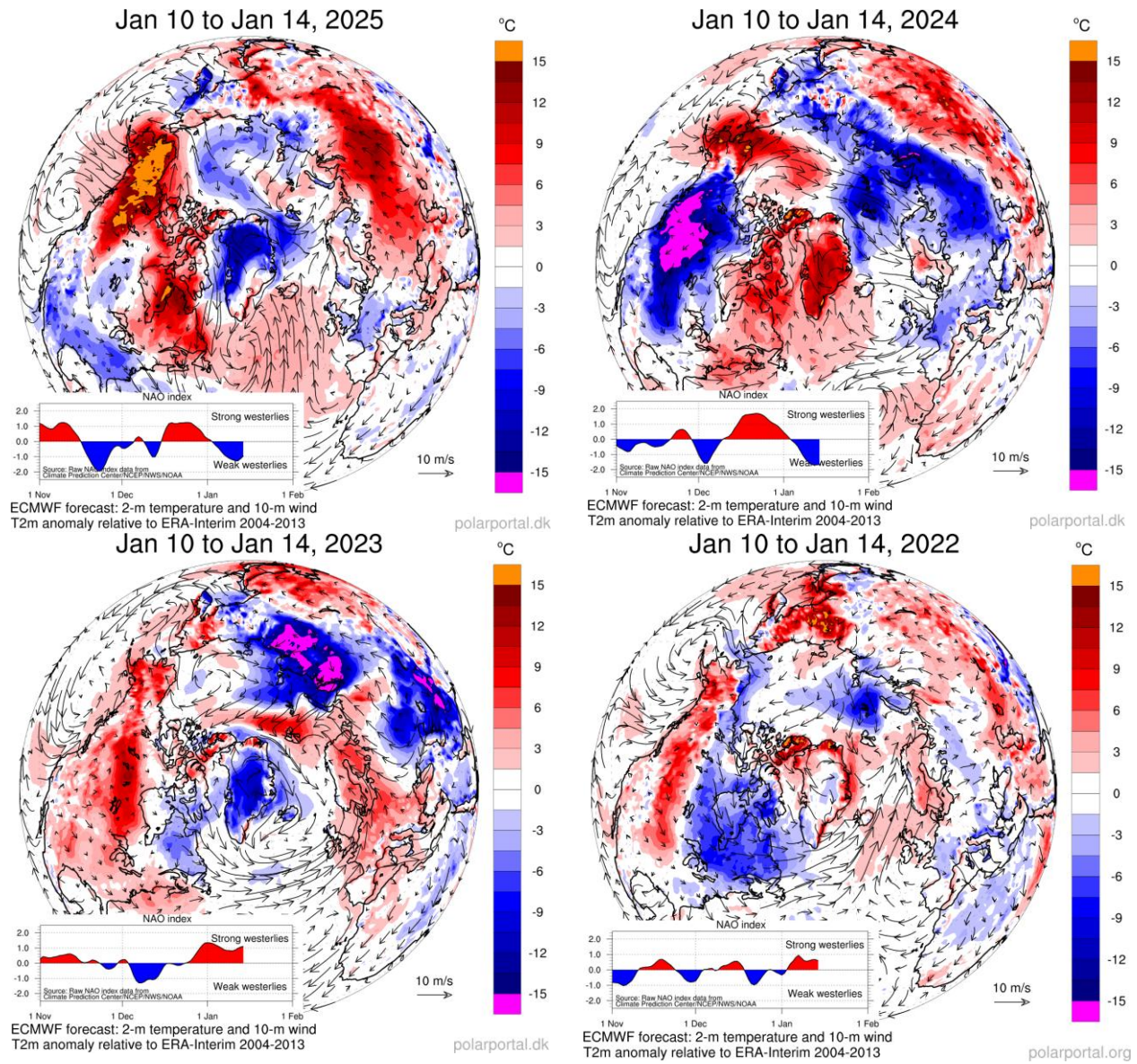


Рисунок 2е – Аномалии приземной температуры воздуха (2м) и осредненные вектора скорости ветра (10 м) за 10.01 – 14.01 в 2022-2025 гг. относительно периода 2004-2013 гг. (<http://polarportal.dk>)

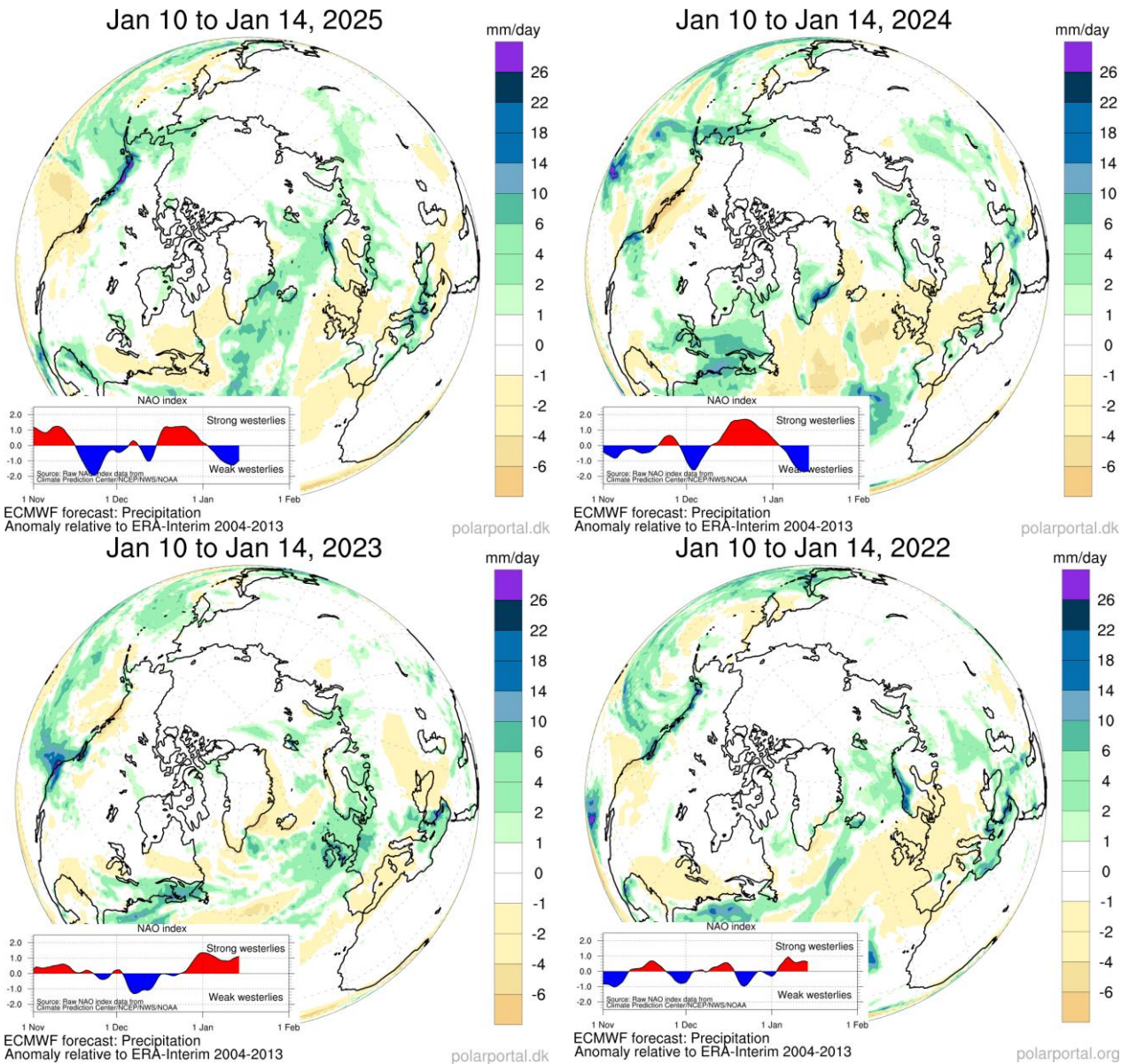


Рисунок 2ж – Аномалии приземной суммы осадков за 10.01 – 14.01 в 2022-2025 гг. относительно периода 2004-2013 гг. (<http://polarportal.dk>)

Таблица 1 - Медианные значения ледовитости для Северной полярной области, 3-х меридиональных секторов и моря СМП за текущие 30 и 7-дневные интервалы, и её аномалии от 2020-2024 гг. и интервалов 2015-2025 гг. и 1978-2025 гг. по данным наблюдений SSMR-SSM/I-SSMIS, алгоритмы NASATEAM

Северная полярная область							
Месяц	S, тыс. км2	Аномалии, тыс км2/%					
		2020 г	2021 г	2022 г	2023 г	2024 г	2015-2025гг
13.12-12.01	12366.0	-359.5	-384.4	-857.3	-476.3	-861.9	-358.6
		-2.8	-3.0	-6.5	-3.7	-6.5	-2.8
06-12.01	13115.3	-188.8	-207.0	-781.5	-246.8	-920.9	-212.3
		-1.4	-1.6	-5.6	-1.8	-6.6	-1.6

Сектор 45°W-95°E (Гренландское - Карское моря)							
Месяц	S, тыс. км2	Аномалии, тыс км2/%					
		2020 г	2021 г	2022 г	2023 г	2024 г	2015-2025гг
13.12-12.01	2843.0	-172.3	129.1	-314.5	12.0	-301.0	24.5
		-5.7	4.8	-10.0	0.4	-9.6	0.9
06-12.01	3055.3	7.5	277.8	-293.5	96.7	-361.6	81.8
		0.2	10.0	-8.8	3.3	-10.6	2.8

Сектор 95°E-170°W (моря Лаптевых - Чукотское, Берингово, Охотское)							
Месяц	S, тыс. км2	Аномалии, тыс км2/%					
		2020 г	2021 г	2022 г	2023 г	2024 г	2015-2025гг
13.12-12.01	3835.1	-110.6	-151.0	-267.4	-136.2	-332.6	-152.2
		-2.8	-3.8	-6.5	-3.4	-8.0	-3.8
06-12.01	4083.4	-155.1	-240.4	-175.8	-158.2	-388.0	-144.9
		-3.7	-5.6	-4.1	-3.7	-8.7	-3.4

Сектор 170°W-45°W (море Бофорта и Канадская Арктика)							
Месяц	S, тыс. км2	Аномалии, тыс км2/%					
		2020 г	2021 г	2022 г	2023 г	2024 г	2015-2025гг
13.12-12.01	5687.9	-76.7	-362.5	-275.4	-352.1	-228.3	-230.9
		-1.3	-6.0	-4.6	-5.8	-3.9	-3.9
06-12.01	5976.7	-41.2	-244.4	-312.2	-185.3	-171.3	-149.2
		-0.7	-3.9	-5.0	-3.0	-2.8	-2.4

Северный Ледовитый океан							
Месяц	S, тыс. км2	Аномалии, тыс км2/%					
		2020 г	2021 г	2022 г	2023 г	2024 г	2015-2025гг
13.12-12.01	10806.9	-580.1	-254.4	-571.6	-358.1	-483.4	-332.0
		-5.1	-2.3	-5.0	-3.2	-4.3	-3.0
06-12.01	11159.5	-322.1	44.0	-511.3	-124.2	-513.3	-174.3
		-2.8	0.4	-4.4	-1.1	-4.4	-1.5

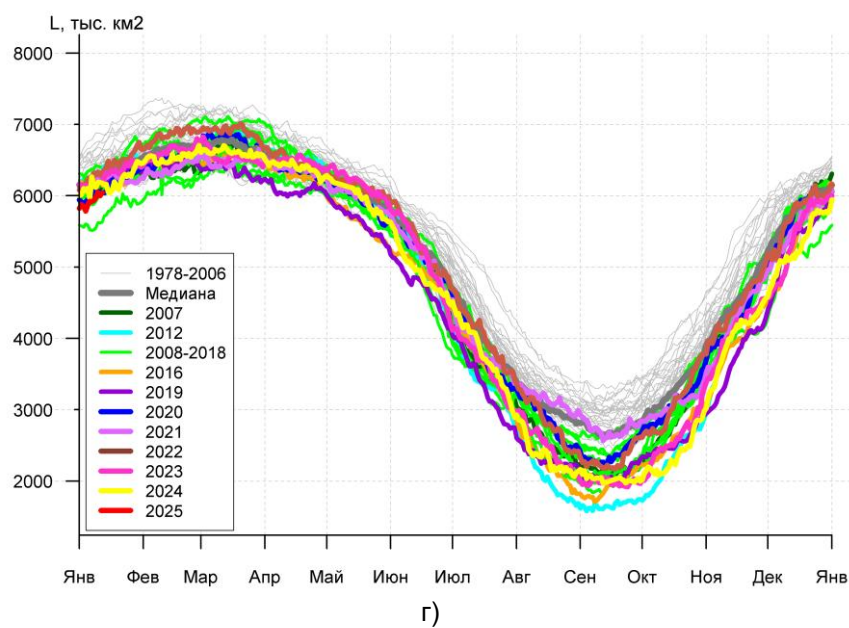
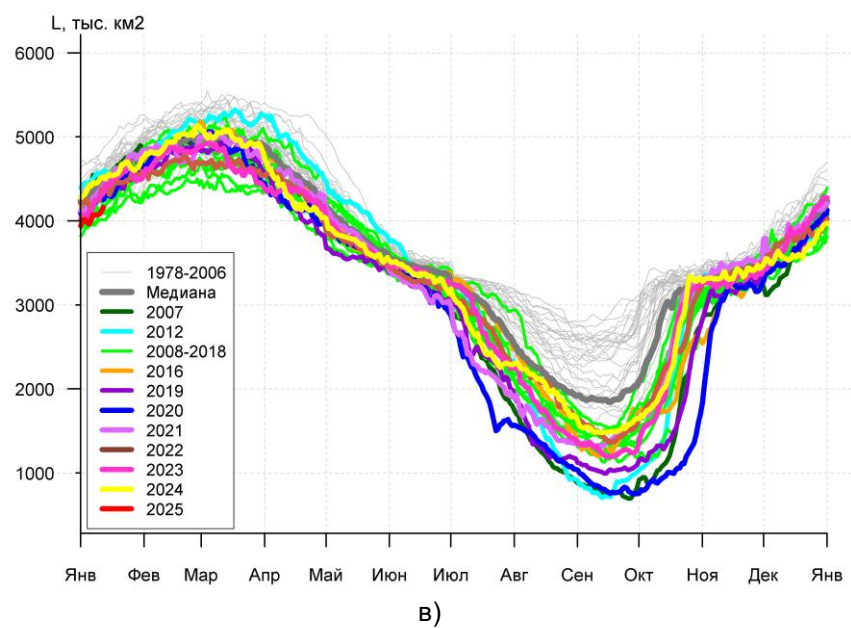
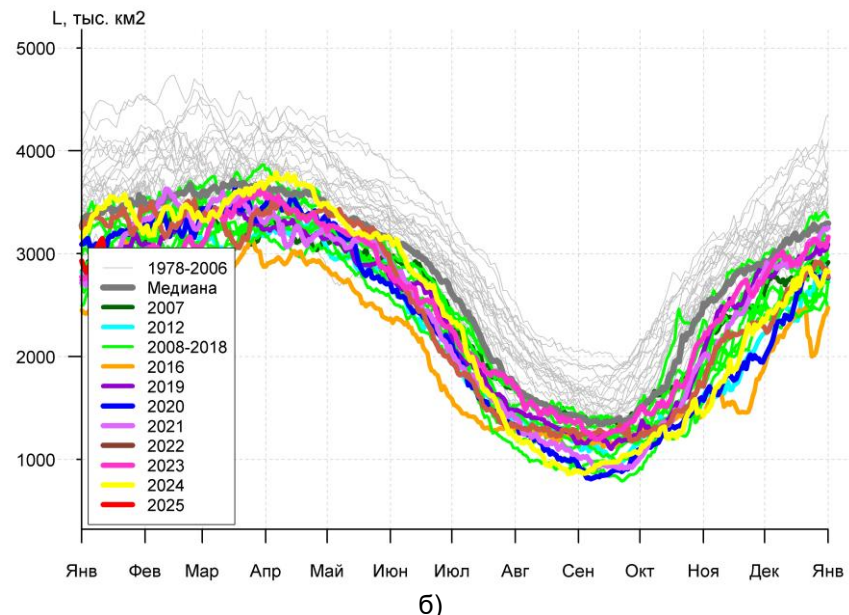
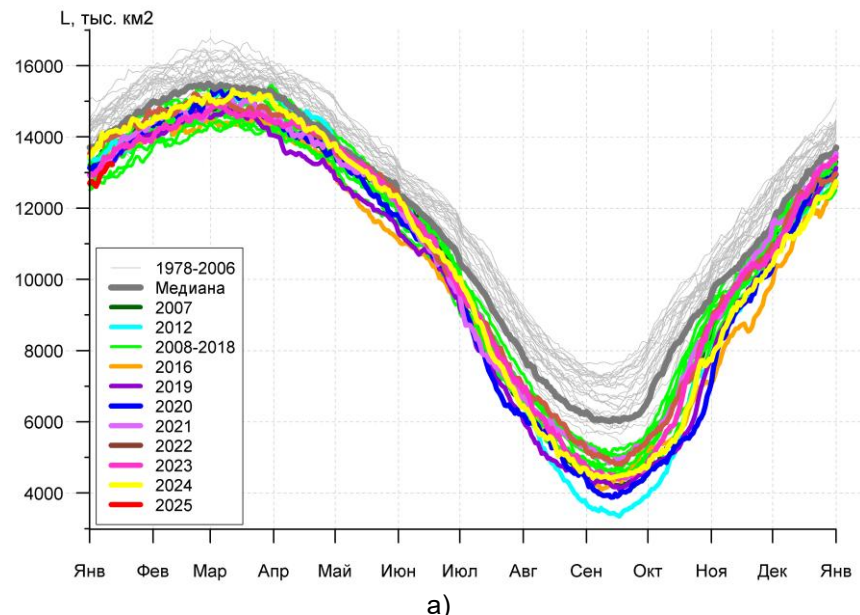
Моря СМП (моря Карское-Чукотское)							
Месяц	S, тыс. км2	Аномалии, тыс км2/%					
		2020 г	2021 г	2022 г	2023 г	2024 г	2015-2025гг
13.12-12.01	2970.4	-31.2	86.2	-50.2	13.5	-26.5	16.1
		-1.0	3.0	-1.7	0.5	-0.9	0.5
06-12.01	3001.7	-24.1	90.3	-24.2	-20.2	-19.6	11.9
		-0.8	3.1	-0.8	-0.7	-0.6	0.4

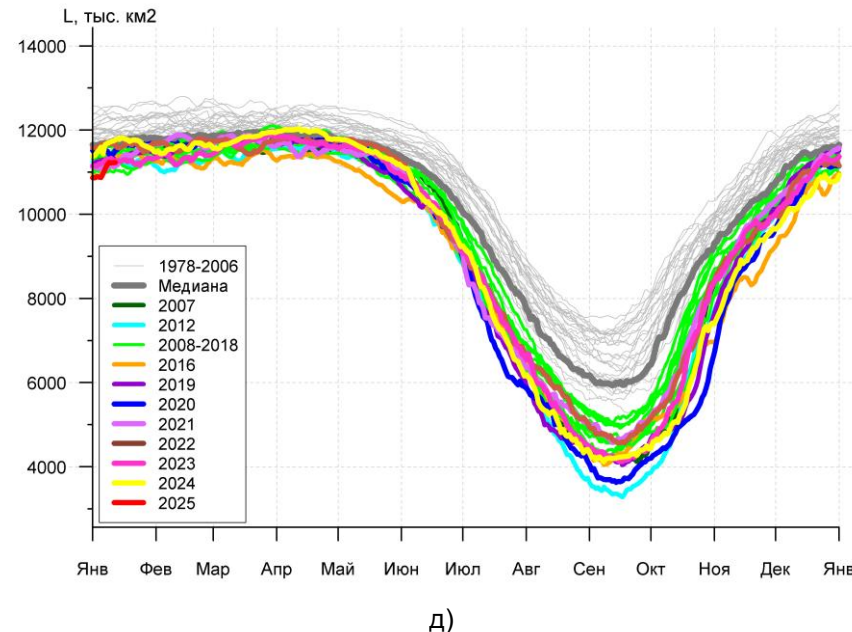
Таблица 2 – Экстремальные и средние значения ледовитости для Северной полярной области, 3 меридиональных секторов и моря СМП за текущий 7-дневный интервал по данным наблюдений SSMR-SSM/I-SSMIS, алгоритмы

Северная полярная область				
Месяц	Минимальное знач.	Максимальное знач.	Среднее знач.	Медиана
06-12.01	12703.4 08.01.2018	15394.9 12.01.1979	14010.9	14054.7
Сектор 45°W-95°E (Гренландское - Карское моря)				
Месяц	Минимальное знач.	Максимальное знач.	Среднее знач.	Медиана
06-12.01	2564.4 10.01.2017	4492.5 10.01.1982	3374.1	3384.3
Сектор 95°E-170°W (моря Лаптевых - Чукотское, Берингово, Охотское)				
Месяц	Минимальное знач.	Максимальное знач.	Среднее знач.	Медиана
06-12.01	3948.7 08.01.2015	4867.2 12.01.1979	4371.9	4385.2
Сектор 170°W-45°W (море Бофорта и Канадская Арктика)				
Месяц	Минимальное знач.	Максимальное знач.	Среднее знач.	Медиана
06-12.01	5512.5 07.01.2011	6882.1 09.01.1983	6264.9	6231.6
Северный Ледовитый океан				
Месяц	Минимальное знач.	Максимальное знач.	Среднее знач.	Медиана
06-12.01	10964.6 06.01.2025	12573.8 12.01.1979	11709.9	11689.0
Моря СМП (моря Карское-Чукотское)				
Месяц	Минимальное знач.	Максимальное знач.	Среднее знач.	Медиана
06-12.01	2840.7 07.01.2021	3025.9 06.01.1980	3013.3	3025.9

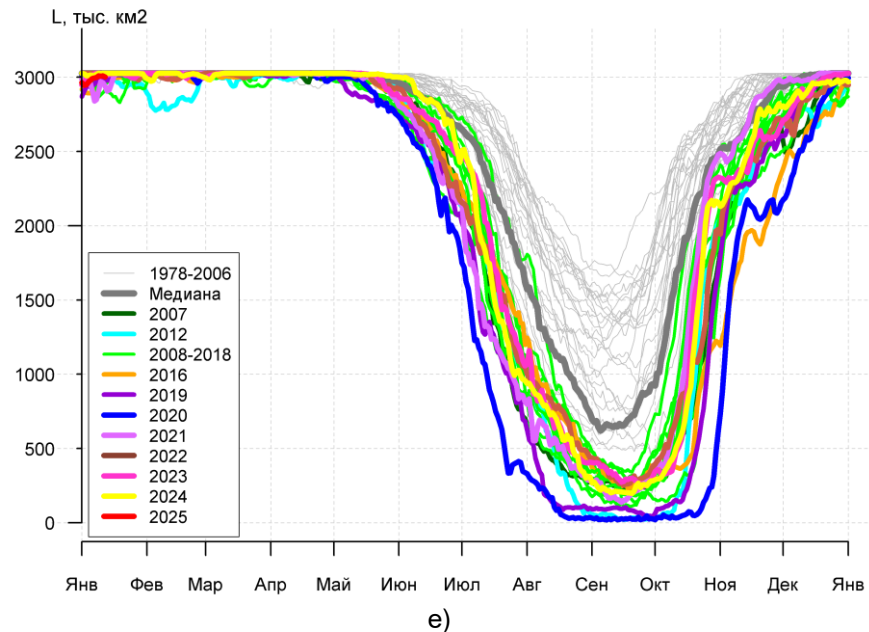
Таблица 3 – Динамика изменения значений ледовитости по сравнению с предыдущей неделей для морей Северной полярной области за 06.01 – 12.01.2025 г. по данным наблюдений SSMR-SSM/I-SMIS

Регион	Северная полярная область	Сектор 45°W-95°E (Гренландское - Карское моря)	Сектор 95°E-170°W (моря Лаптевых - Чукотское, Берингово, Охотское)	Сектор 170°W-45°W (море Бофорта и Канадская Арктика)	Северный Ледовитый океан	Моря СМП (моря Карское-Чукотское)
Разность	461.4	201.6	107.7	152.1	301.7	35.9
тыс.кв.км/сут.	65.9	28.8	15.4	21.7	43.1	5.1





д)



е)

Рисунок 3а – Ежедневные оценки сезонного хода ледовитости для Северной Полярной Области и трех меридиональных секторов за период 26.10.1978 – 12.01.2025 по годам на основе расчетов по данным SSMR-SSM/I-SSMIS, алгоритмы NASATEAM: а) Северная полярная область, б) сектор 45°W-95°E (Гренландское – Карское моря), в) сектор 95°E-170°W (моря Лаптевых – Чукотское и Берингово, Охотское), г) сектор 170°W-45°W (море Бофорта и Канадская Арктика), д) Северный Ледовитый океан, е) Северный морской путь (Карское - Чукотское моря).

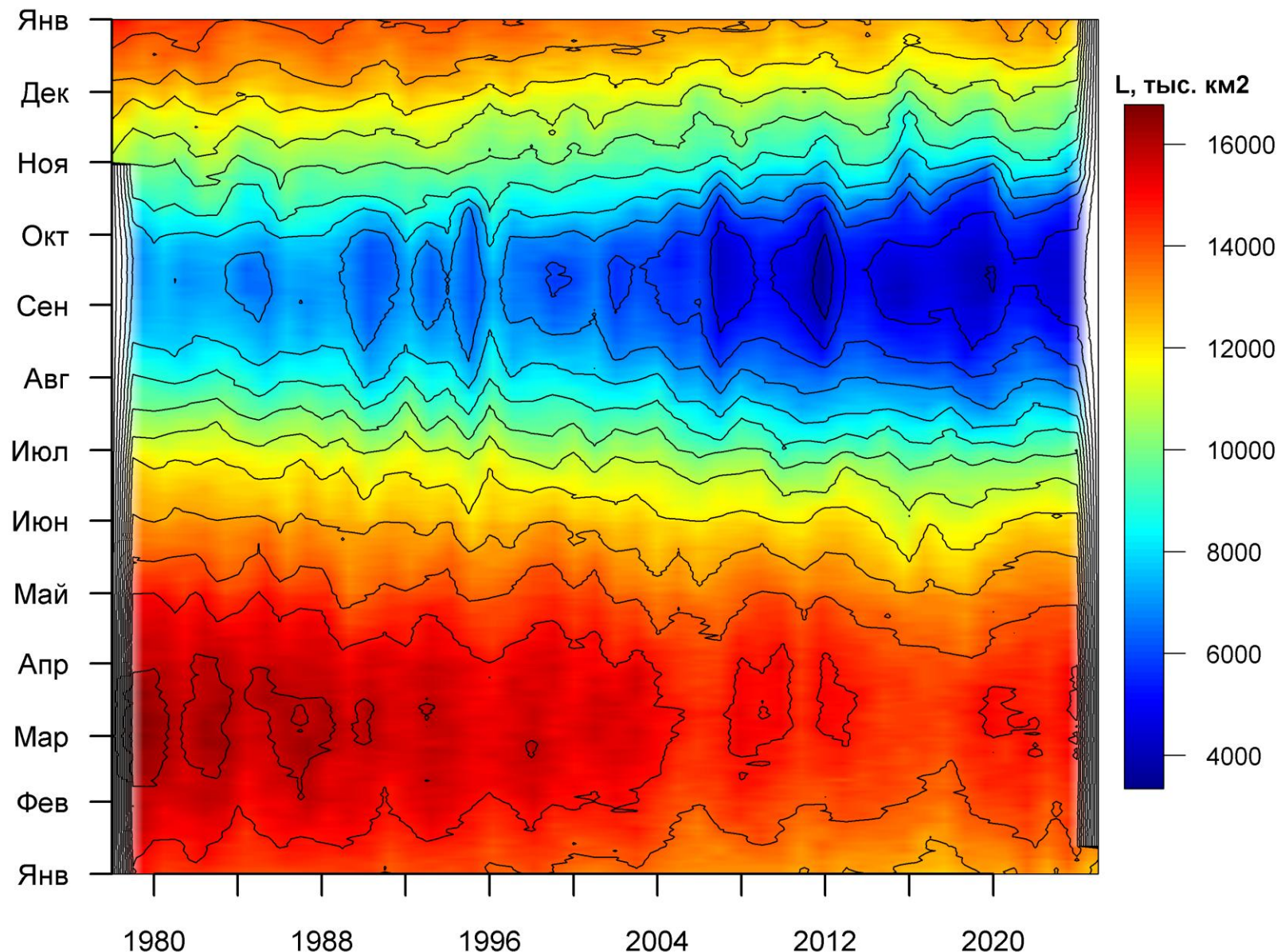


Рисунок 3б – Ежедневные оценки сезонных изменений ледовитости для Северной Полярной Области за период 26.10.1978 – 12.01.2025 на основе расчетов по данным SSMR-SSM/I-SSMIS, алгоритм NASATEAM.

Южный океан

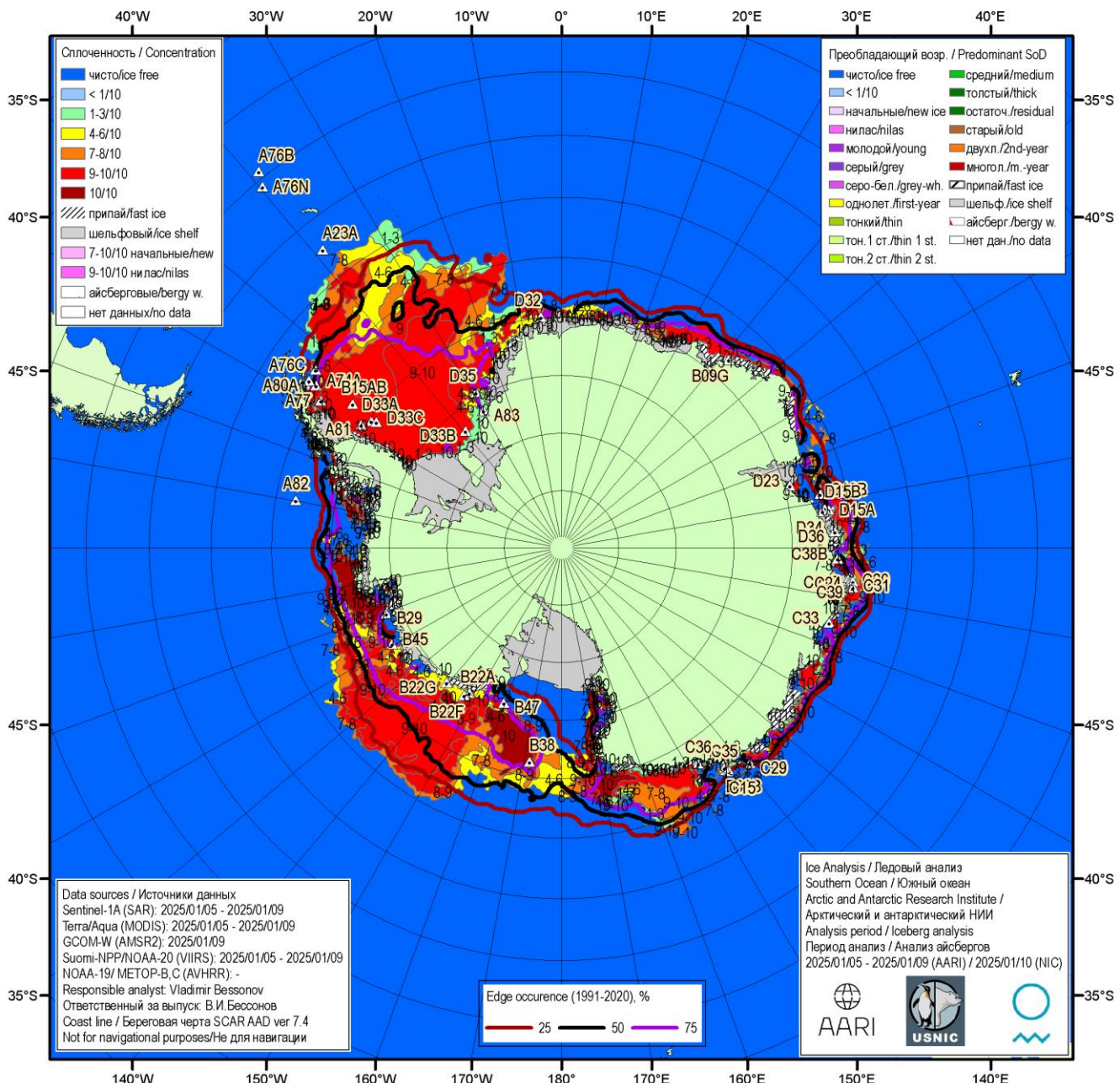


Рисунок 5а – Ледовая карта Южного океана (цветовая окраска по общей сплощенности) и расположение крупных айсбергов на основе ледового анализа за 09.01.2025 в рамках проекта совместного ледового картирования Южного океана ААНИИ, НЛЦ США и НМИ и повторяемость кромки за 06-10.01 за период 1991-2020 гг. по наблюдениям SSMR-SSM/I-SSMIS (алгоритм NASATEAM)

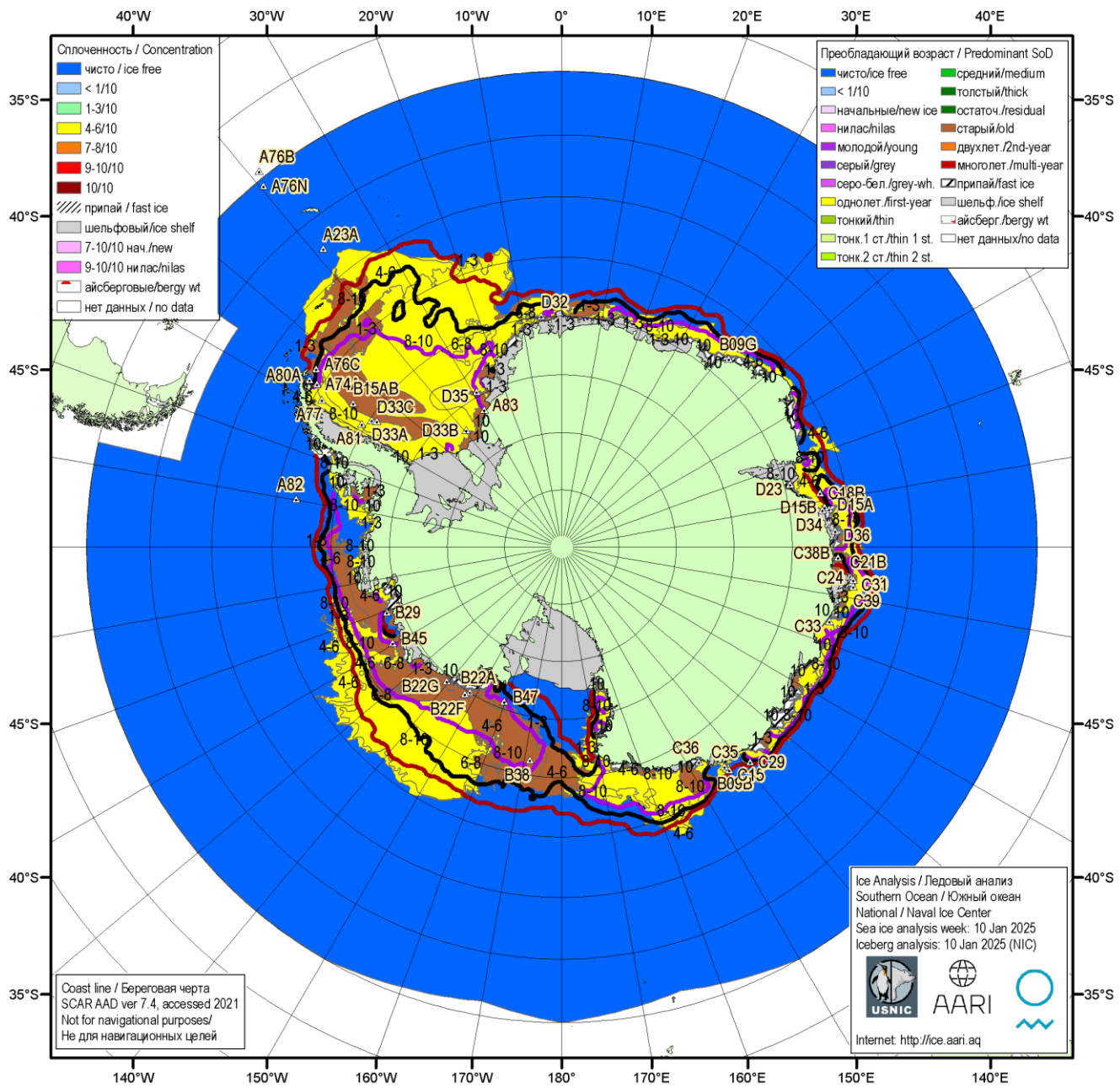


Рисунок 5в – Ледовая карта Южного океана (цветовая окраска по возрасту) и расположение крупных айсбергов на основе ледового анализа за 10.01.2025 в рамках проекта совместного ледового картирования Южного океана ААНИИ, НЛЦ США и НМИ и повторяемость кромки за 06-10.01 за период 1991-2020 гг. по наблюдениям SSMR-SSM/I-SSMIS (алгоритм NASATEAM)

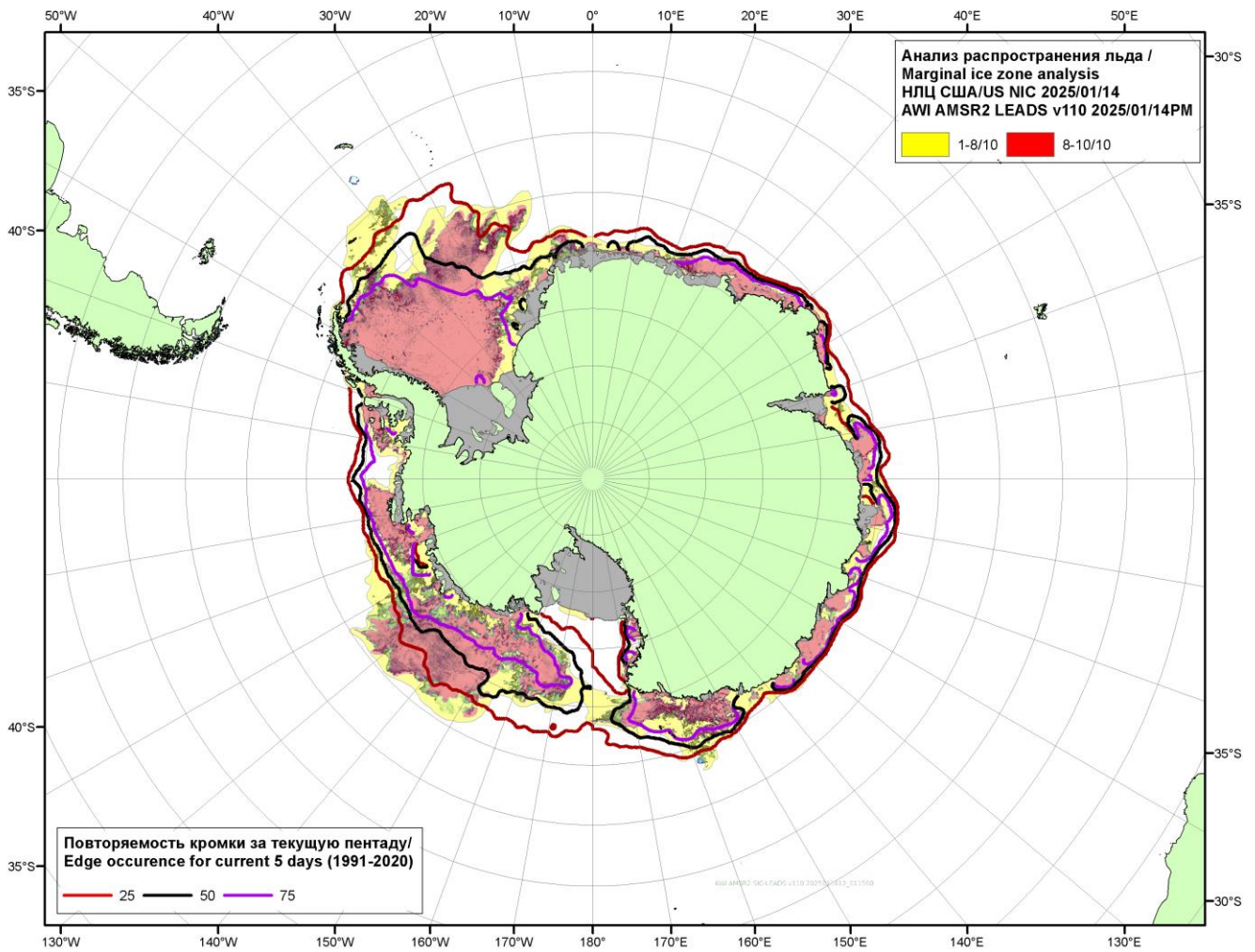
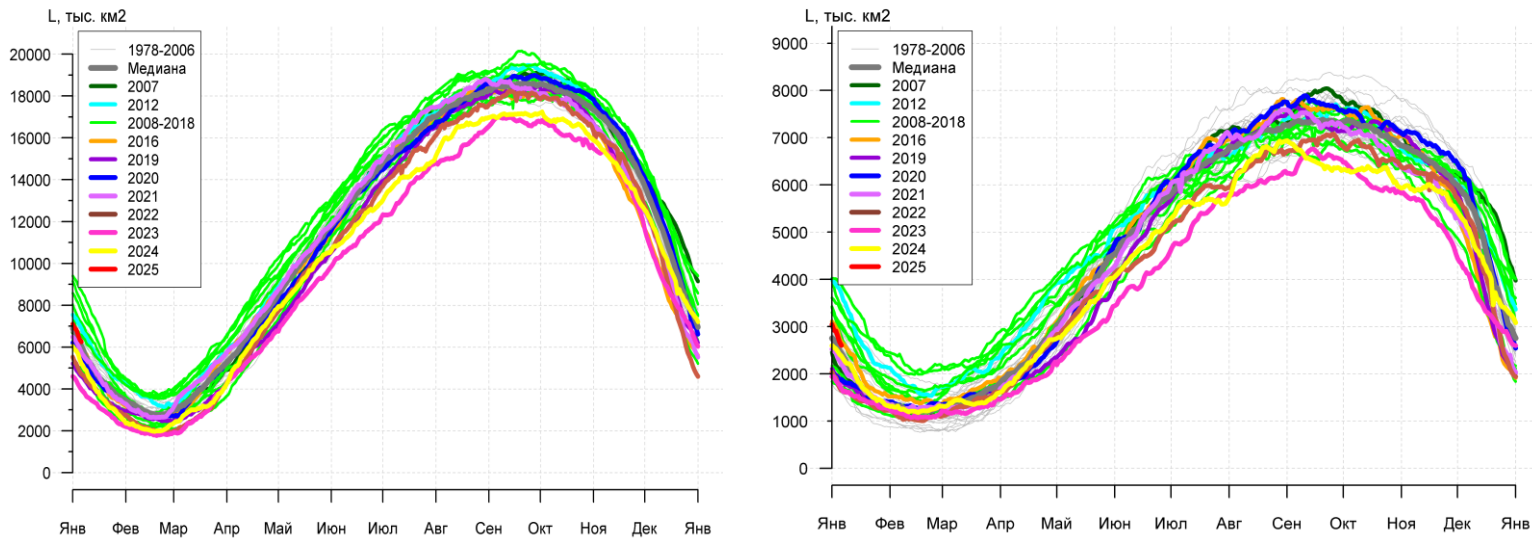


Рисунок 5в – Положение кромки льда и зон разреженных ($<8/10$) и сплоченных ($\geq8/10$) льдов Южного океана за 14.01.2025 г. на основе ледового анализа Национального Ледового Центра США и повторяемость кромки за 11-15.01 за период 1991-2020 гг. по наблюдениям SSMR-SSM/I-SSMIS (алгоритм NASATEAM), совмещенное с положением разрежений на основе данных ИСЗ AMSR2 за 14.01.2025 (AWI, v110).

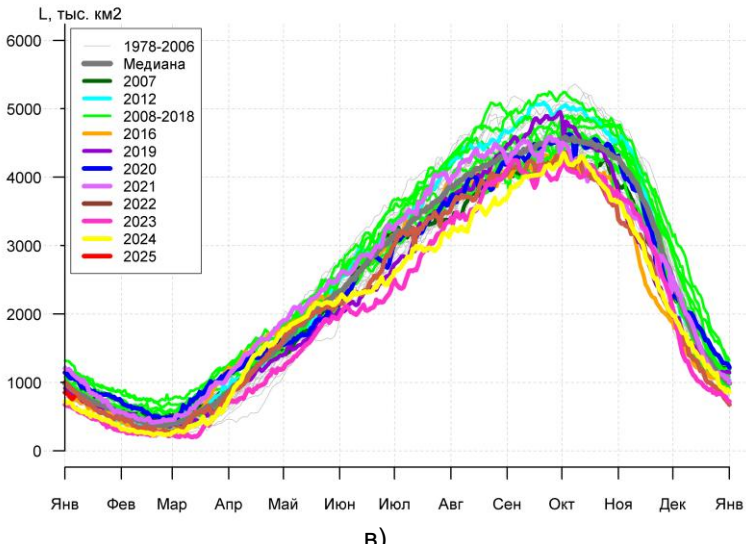
Таблица 4 – Линейные размеры крупных айсбергов Южного океана на основе анализа НЛЦ США за 13.12.2024 / Table 4 – Southern Ocean tabular icebergs linear dimensions based on US NIC analysis for 2024-12-13

Имя/ Name	Длина/ Length км/км	Ширина/ Width км/км	Площадь/ Area кв.км/sq.km	Имя/ Name	Длина/ Length км/км	Ширина/ Width км/км	Площадь/ Area кв.км/sq.km
A23A	74.1	59.3	3643.3	B09G	22.2	13.0	161.9
D15A	94.5	40.7	3052.6	A80A	16.7	13.0	136.0
B22A	61.1	48.2	1585.4	A82	22.2	14.8	123.7
A81	51.9	46.3	1348.6	D23	13.0	11.1	123.3
A74A	55.6	33.3	1081.9	D32	16.7	11.1	120.9
D15B	59.3	22.2	847.1	B47	35.2	9.3	100.7
C36	42.6	29.6	810.5	B15AB	18.5	7.4	92.5
B22F	40.7	27.8	684.5	B22G	16.7	9.3	90.4
D33A	63.0	18.5	676.5	C30	16.7	5.6	76.3
B09B	50.0	18.5	505.5	B45	13.0	7.4	72.5
D35	51.9	11.1	352.9	C31	16.7	5.6	72.1
A76C	29.6	13.0	348.6	C33	20.4	7.4	69.2
A77	50.0	7.4	331.8	A76N	16.7	7.4	68.5
D33B	38.9	22.2	312.2	D36	20.4	9.3	67.5
C21B	22.2	14.8	258.1	C29	13.0	9.3	67.1
D33C	27.8	13.0	227.4	B29	20.4	9.3	65.5
C15	25.9	18.5	220.7	D20A	25.9	9.3	65.4
A76B	27.8	13.0	217.2	C24	20.4	5.6	62.3
C39	27.8	14.8	206.5	B38	11.1	7.4	60.0
C18B	37.0	7.4	205.9	C35	14.8	9.3	57.7
A83	22.2	13.0	201.0	C38B	14.8	13.0	48.5
D34	20.4	14.8	173.8				

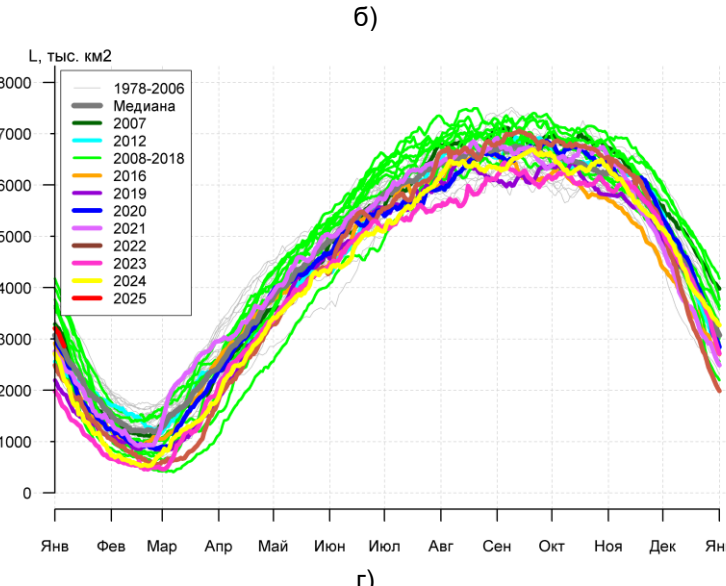
Суммарная площадь/Total area == **19094** (10/10/2024 – 19524) кв. км/sq. km



а)



в)



г)

Рисунок 7а – Ежедневные оценки сезонного хода ледовитости Южного Океана и меридиональных секторов за период 26.10.1978 – 12.01.2025 по годам на основе расчетов по данным SSMR-SSM/I-SSMIS, алгоритм NASATEAM: а) Южный Океан, б) Атлантический сектор (60°W - 30°E , море Уэдделла), в) Индоокеанский сектор (30°E - 150°E , моря Космонавтов, Содружества, Моусона), г) Тихоокеанский сектор (150°E - 60°W , моря Росса, Беллинсгаузена)

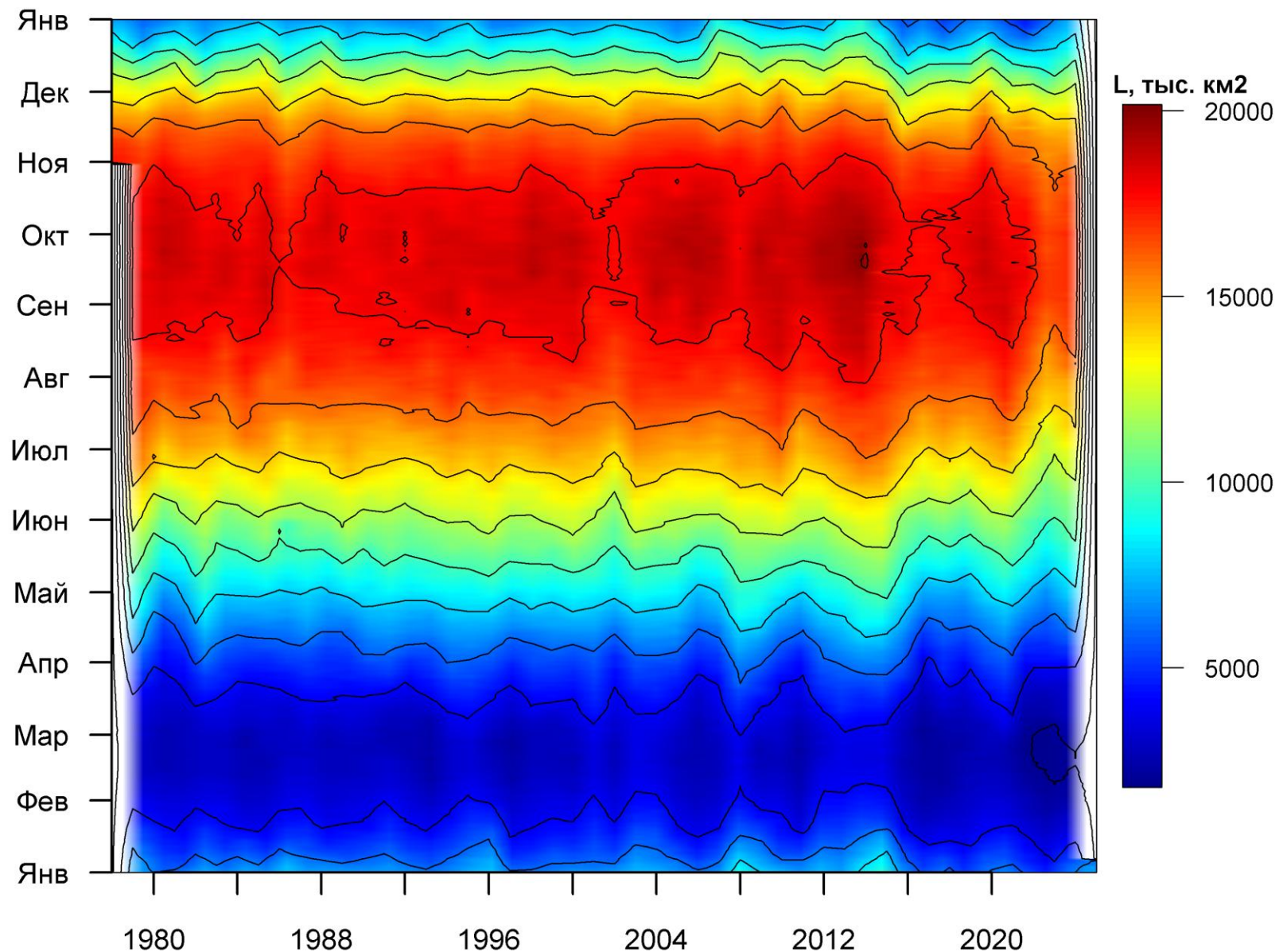


Рисунок 7б – Ежедневные оценки сезонных изменений ледовитости для Южного океана за период 26.10.1978 - 12.01.2025 на основе расчетов по данным SSMR-SSM/I-SSMIS, алгоритмом NASATEAM.

Таблица 5 - Медианные значения ледовитости для Южного океана и 3 меридиональных секторов за текущие 30 и 7-дневные интервалы и её аномалии от 2020-2024 гг. и интервалов 2015-2025 гг. и 1978-2025 гг. по данным наблюдений SSMR-SSM/I

Южный Океан

Месяц	S, тыс. км ²	Аномалии, тыс км ² /%						
		2020 г	2021 г	2022 г	2023 г	2024 г	2015-2025гг	1978-2025гг
13.12-12.01	7705.5	688.9	-169.0	1174.5	1879.4	981.2	508.8	-116.0
		9.8	-2.1	18.0	32.3	14.6	7.1	-1.5
06-12.01	5763.3	565.1	342.7	1335.5	2067.3	956.6	594.1	120.2
		10.9	6.3	30.2	55.9	19.9	11.5	2.1

Атлантический сектор (60°W-30°E, море Уэдделла)

Месяц	S, тыс. км ²	Аномалии, тыс км ² /%						
		2020 г	2021 г	2022 г	2023 г	2024 г	2015-2025гг	1978-2025гг
13.12-12.01	3297.3	800.2	93.8	672.9	714.4	504.6	356.5	3.3
		32.0	2.9	25.6	27.7	18.1	12.1	0.1
06-12.01	2422.5	604.6	375.8	815.9	811.6	187.0	316.5	170.6
		33.3	18.4	50.8	50.4	8.4	15.0	7.6

Индоокеанский сектор (30°E-150°E, моря Космонавтов, Содружества, Моусона)

Месяц	S, тыс. км ²	Аномалии, тыс км ² /%						
		2020 г	2021 г	2022 г	2023 г	2024 г	2015-2025гг	1978-2025гг
13.12-12.01	1002.5	-186.5	-368.1	-116.2	152.4	203.2	-69.0	-141.1
		-15.7	-26.9	-10.4	17.9	25.4	-6.4	-12.3
06-12.01	709.3	-277.2	-335.3	-81.8	133.2	113.7	-104.6	-128.2
		-28.1	-32.1	-10.3	23.1	19.1	-12.9	-15.3

Тихоокеанский сектор (150°E-60°W, моря Росса, Беллинсгаузена)

Месяц	S, тыс. км ²	Аномалии, тыс км ² /%						
		2020 г	2021 г	2022 г	2023 г	2024 г	2015-2025гг	1978-2025гг
13.12-12.01	3405.7	75.2	105.3	617.8	1012.6	273.4	221.2	21.9
		2.3	3.2	22.2	42.3	8.7	6.9	0.6
06-12.01	2631.5	237.6	302.2	601.4	1122.5	655.9	382.2	77.8
		9.9	13.0	29.6	74.4	33.2	17.0	3.0

Таблица 6 – Экстремальные значения ледовитости для Южного океана и 3 меридиональных секторов за текущий 7-дневный интервал

Южный Океан

Месяц	Минимальное знач.	Максимальное знач.	Среднее знач.	Медиана
06-12.01	3456.2 12.01.2023	8716.8 06.01.2015	5643.2	5562.4

Атлантический сектор (60°W-30°E, море Уэдделла)

Месяц	Минимальное знач.	Максимальное знач.	Среднее знач.	Медиана
06-12.01	1302.5 12.01.1981	3881.4 06.01.2015	2251.9	2192.5

Индоокеанский сектор (30°E-150°E, моря Космонавтов, Содружества, Моусона)

Месяц	Минимальное знач.	Максимальное знач.	Среднее знач.	Медиана
06-12.01	531.6 12.01.2023	1242.7 06.01.2014	837.6	823.7

Тихоокеанский сектор (150°E-60°W, моря Росса, Беллинсгаузена)

Месяц	Минимальное знач.	Максимальное знач.	Среднее знач.	Медиана
06-12.01	1384.1 12.01.2023	3752.5 06.01.2015	2553.7	2542.9

Таблица 7 – Динамика изменения значений ледовитости по сравнению с предыдущей неделей для морей Южного океана за 06.01 – 12.01.2025 по данным наблюдений SSMR-SSM/I-SSMIS

Регион	Южный Океан	Атлантический сектор	Индоокеанский сектор	Тихоокеанский сектор
Разность	-1188.8	-541.6	-120.7	-526.4
тыс.кв.км/сут.	-169.8	-77.4	-17.2	-75.2

Ледовитость, тыс. км²

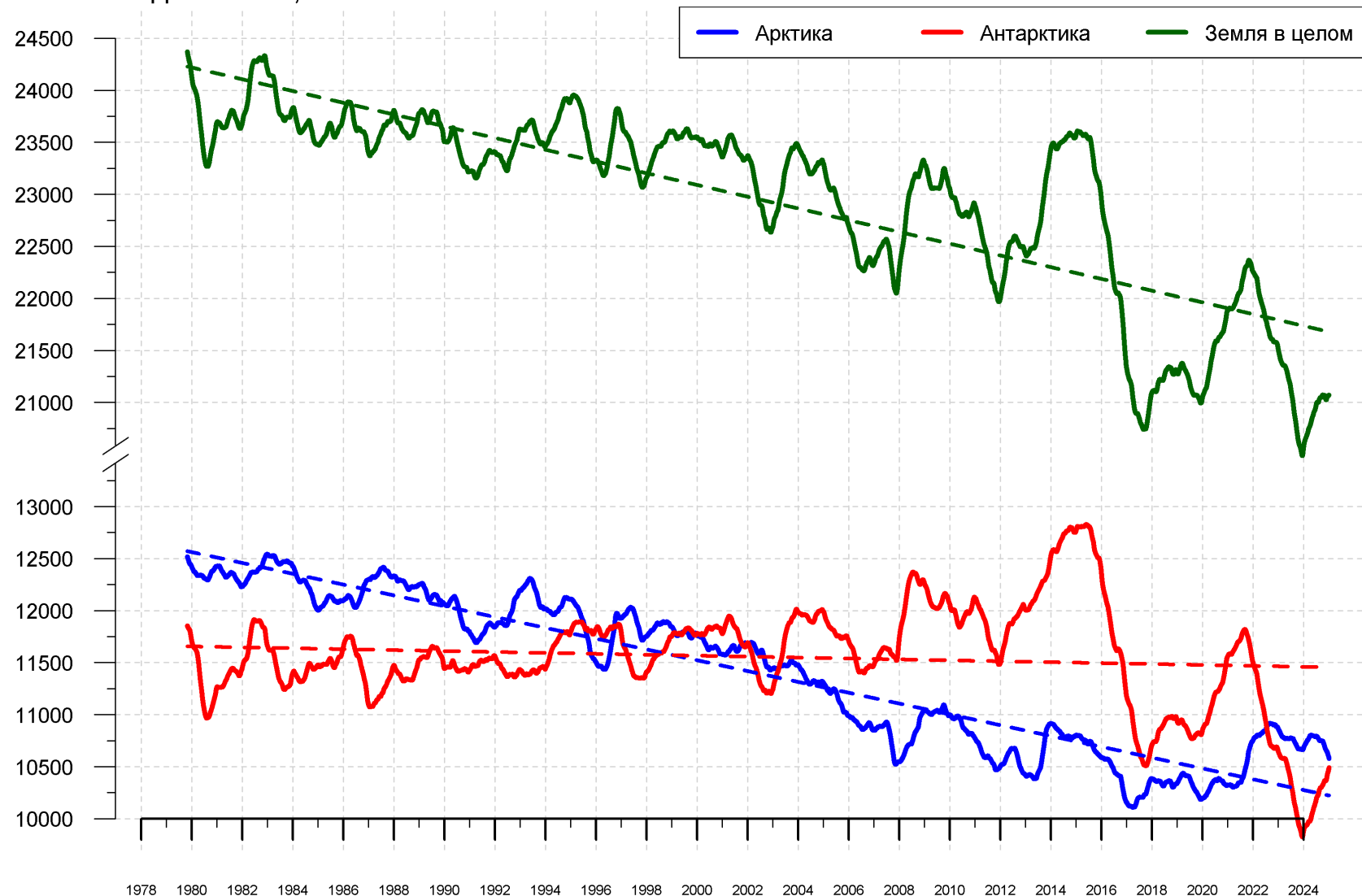


Рисунок 9 – Ежедневные сглаженные окном 365 суток значения ледовитости (площади распространения морского льда) Арктики, Антарктики и Земли в целом с 26.10.1978 по 12.01.2024 на основе SSMR-SSM/I-SSMIS

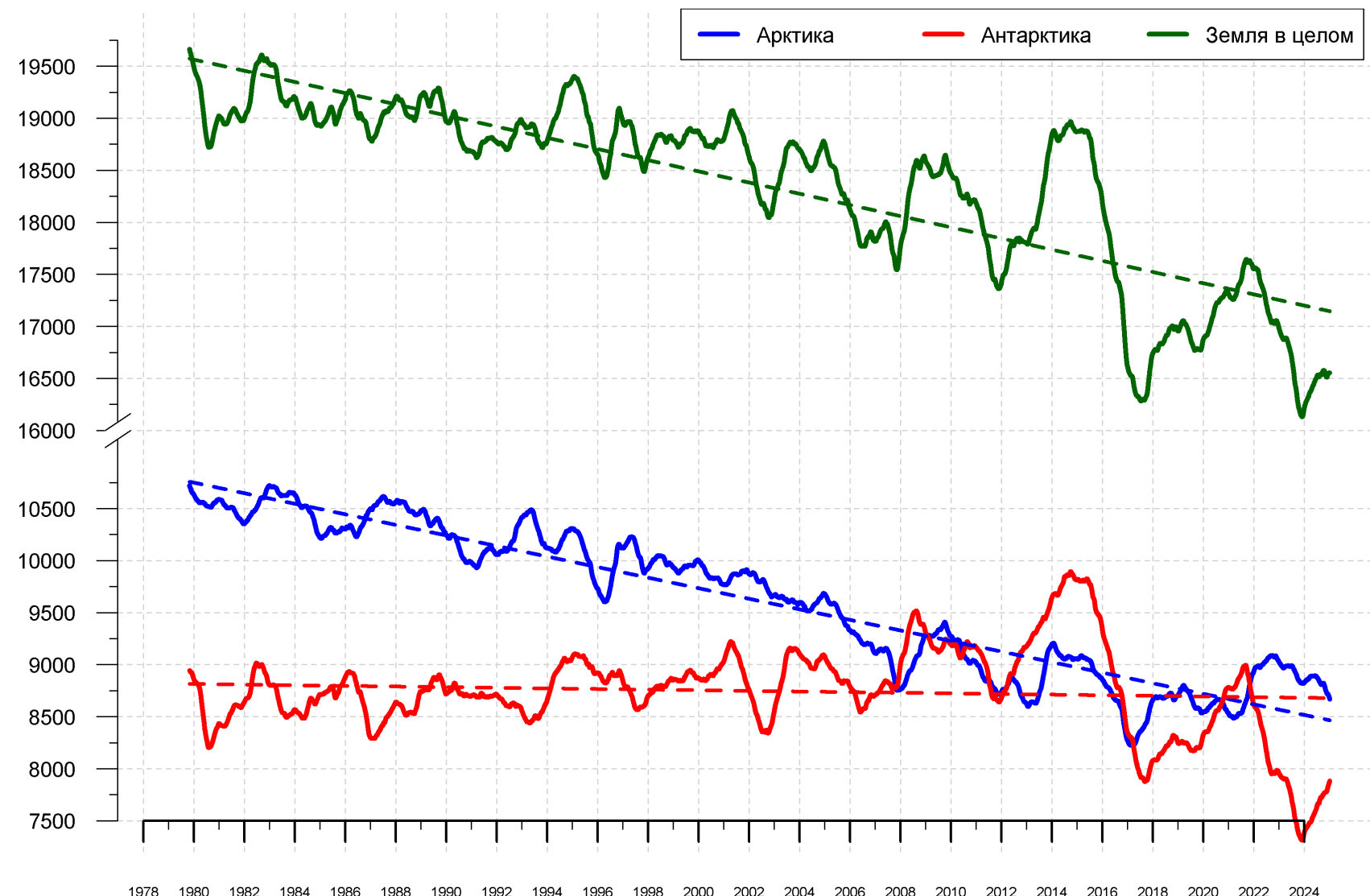


Рисунок 10 – Ежедневные сглаженные окном 365 суток значения приведенной ледовитости (площади морского льда) Арктики, Антарктики и Земли в целом с 25.10.1978 по 12.01.2024 на основе SSMR-SSM/I-SSMIS

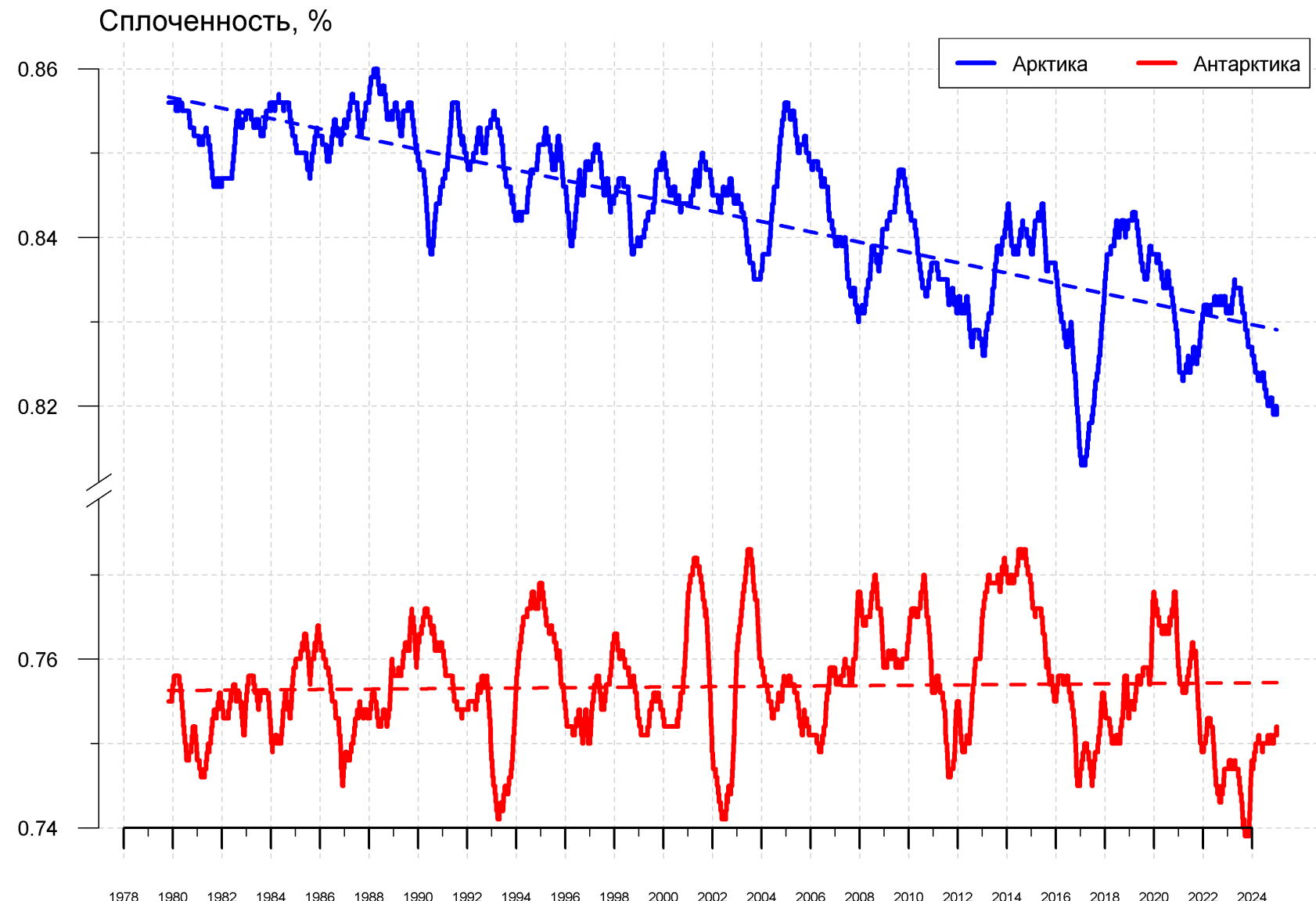


Рисунок 11 – Ежедневные сглаженные окном 365 суток значения средней общей сплоченности Арктики и Антарктики с 07.11.1978 по 12.01.2024 на основе SSMR-SSM/I-SSMIS

Приложение 1 – Статистические значения ледовитостей по отдельным акваториям Северной Полярной Области и Южного океана

Таблица 8 – Средние, аномалии среднего и экстремальные значения ледовитостей для Северной и Южной полярных областей и её отдельных акваторий за текущие 7-дневный (неделя) и 30-дневный промежутки времени по данным наблюдений SSMR-SSM/I-SSMIS, алгоритм NASATEAM за период 1978-2024 гг.

06-12.01

Регион	S, тыс. км ²	Аномалии, тыс км ² /%							1978-2025гг			
		2007 г	2012 г	2022 г	2023 г	2024 г	2015-2025гг	1978-2025гг	Минимум дата	Максимум дата	Среднее	Медиана
Сев. полярная область	13115.3	-328.3	-477.0	-781.5	-246.8	-920.9	-212.3	-895.6	12703.4	15394.9	14010.9	14054.7
		-2.4	-3.5	-5.6	-1.8	-6.6	-1.6	-6.4	08.01.2018	12.01.1979		
Сектор 45°W- 95°E	3055.3	197.6	257.3	-293.5	96.7	-361.6	81.8	-318.8	2564.4	4492.5	3374.1	3384.3
		6.9	9.2	-8.8	3.3	-10.6	2.8	-9.4	10.01.2017	10.01.1982		
Гренландское море	703.2	53.6	122.0	89.4	29.7	-88.5	61.7	-34.0	533.9	1118.5	737.2	700.4
		8.3	21.0	14.6	4.4	-11.2	9.6	-4.6	09.01.2020	10.01.1989		
Баренцево море	402.4	63.4	30.7	-302.7	93.5	-152.9	-11.0	-214.9	171.3	1081.3	617.4	630.7
		18.7	8.3	-42.9	30.3	-27.5	-2.7	-34.8	08.01.2013	06.01.1982		
Карское море	815.0	-15.8	5.0	-24.2	-20.2	-19.7	10.8	-11.9	654.0	839.2	826.9	839.2
		-1.9	0.6	-2.9	-2.4	-2.4	1.3	-1.4	07.01.2021	06.01.1979		
Сектор 95°E- 170°W	4083.4	-365.3	-458.7	-175.8	-158.2	-388.0	-144.9	-288.6	3948.7	4867.2	4371.9	4385.2
		-8.2	-10.1	-4.1	-3.7	-8.7	-3.4	-6.6	08.01.2015	12.01.1979		
Море Лаптевых	674.3	0.0	0.0	0.0	0.0	0.0	0.0	0.0	673.6	674.3	674.3	674.3
		0.0	0.0	0.0	0.0	0.0	0.0	0.0	09.01.1995	06.01.1979		
Восточно- Сибирское море	915.1	0.0	0.0	0.0	0.0	0.0	0.0	0.0	915.1	915.1	915.1	915.1
		0.0	0.0	0.0	0.0	0.0	0.0	0.0	06.01.1979	06.01.1979		
Чукотское море	597.3	0.0	0.0	0.0	0.0	0.1	1.2	0.3	579.0	597.3	597.0	597.3
		0.0	0.0	0.0	0.0	0.0	0.2	0.0	09.01.2017	06.01.1980		
Берингово море	433.9	-194.0	-358.5	-165.7	-48.8	-59.0	39.0	-94.1	124.2	978.8	528.0	526.3
		-30.9	-45.2	-27.6	-10.1	-12.0	9.9	-17.8	08.01.2018	10.01.2000		
Сектор 170°W- 45°W	5976.7	-160.6	-275.6	-312.2	-185.3	-171.3	-149.2	-288.2	5512.5	6882.1	6264.9	6231.6
		-2.6	-4.4	-5.0	-3.0	-2.8	-2.4	-4.6	07.01.2011	09.01.1983		
Море Бафорта	486.6	0.0	0.0	0.0	0.0	0.0	0.0	0.0	486.6	486.6	486.6	486.6
		0.0	0.0	0.0	0.0	0.0	0.0	0.0	06.01.1979	06.01.1979		
Гудзонов залив	706.5	-132.5	-132.5	-130.7	-130.4	-103.4	-116.3	-126.1	635.4	839.0	832.7	839.0
		-15.8	-15.8	-15.6	-15.6	-12.8	-14.1	-15.1	06.01.2025	06.01.1979		
Море Лабрадор	11.6	-23.1	-90.8	-33.6	-12.7	-41.4	-83.9	-144.0	2.6	394.6	155.6	150.9
		-66.6	-88.7	-74.4	-52.3	-78.2	-87.9	-92.6	07.01.2011	11.01.1993		
Дейвисов пролив	354.3	2.0	-104.1	26.6	22.6	21.5	-10.7	-52.1	186.5	709.4	406.4	394.2
		0.6	-22.7	8.1	6.8	6.5	-2.9	-12.8	08.01.2011	09.01.1983		
Канадский архипелаг	1123.8	-66.3	-66.3	-66.3	-66.2	-66.3	-60.2	-61.5	1022.2	1190.1	1185.4	1190.1
		-5.6	-5.6	-5.6	-5.6	-5.6	-5.1	-5.2	07.01.2011	06.01.1979		

13.12-12.01

Регион	S, тыс. км2	Аномалии, тыс км2/%							1978-2025гг			
		2007 г	2012 г	2022 г	2023 г	2024 г	2015- 2025гг	1978- 2025гг	Минимум дата	Максимум дата	Среднее	Медиана
Сев. полярная область	12366.0	-514.0 -4.0	-578.3 -4.5	-857.3 -6.5	-476.3 -3.7	-861.9 -6.5	-358.6 -2.8	-1037.6 -7.7	11280.5 13.12.2016	15394.9 12.01.1979	13403.6	13414.1
Сектор 45°W- 95°E	2843.0	10.3 0.4	152.4 5.7	-314.5 -10.0	12.0 0.4	-301.0 -9.6	24.5 0.9	-397.0 -12.3	2001.9 24.12.2016	4492.5 10.01.1982	3240.0	3254.9
Гренландское море	631.4	3.1 0.5	24.4 4.0	29.9 5.0	-27.8 -4.2	-116.5 -15.6	16.1 2.6	-82.2 -11.5	498.2 16.12.2016	1118.5 10.01.1989	713.6	674.1
Баренцево море	333.1	14.8 4.6	-3.9 -1.2	-255.1 -43.4	53.3 19.0	-86.1 -20.5	-19.7 -5.6	-235.0 -41.4	71.2 25.12.2016	1081.3 06.01.1982	568.0	583.1
Карское море	784.9	-50.0 -6.0	100.0 14.6	-49.1 -5.9	9.4 1.2	-27.9 -3.4	5.6 0.7	-27.5 -3.4	451.3 13.12.2020	839.2 13.12.1978	812.4	839.2
Сектор 95°E- 170°W	3835.1	-294.2 -7.1	-428.7 -10.1	-267.4 -6.5	-136.2 -3.4	-332.6 -8.0	-152.2 -3.8	-271.1 -6.6	3435.3 13.12.2007	4867.2 12.01.1979	4106.2	4095.4
Море Лаптевых	674.3	0.0 0.0	0.0 0.0	0.0 0.0	0.0 0.0	0.0 0.0	0.0 0.0	0.0 0.0	673.6 13.12.2011	674.3 13.12.1978	674.3	674.3
Восточно- Сибирское море	915.1	0.0 0.0	0.0 0.0	0.0 0.0	0.0 0.0	0.0 0.0	0.0 0.0	0.0 0.0	893.2 13.12.2007	915.1 13.12.1978	915.1	915.1
Чукотское море	596.2	-0.8 -0.1	-1.1 -0.2	-1.1 -0.2	4.1 0.7	1.4 0.2	10.5 1.8	2.4 0.4	372.9 13.12.2007	597.3 13.12.1978	593.8	597.3
Берингово море	287.3	-168.6 -37.0	-294.2 -50.6	-176.1 -38.0	-30.6 -9.6	-128.3 -30.9	-18.7 -6.1	-140.3 -32.8	64.4 13.12.2007	978.8 10.01.2000	427.7	432.5
Сектор 170°W- 45°W	5687.9	-230.1 -3.9	-302.0 -5.0	-275.4 -4.6	-352.1 -5.8	-228.3 -3.9	-230.9 -3.9	-369.5 -6.1	5097.8 13.12.1998	6882.1 09.01.1983	6057.4	6066.8
Море Бафорта	486.6	0.0 0.0	0.0 0.0	0.0 0.0	0.0 0.0	0.0 0.0	0.0 0.0	0.0 0.0	485.9 18.12.1994	486.6 13.12.1978	486.6	486.6
Гудзонов залив	566.3	-247.3 -30.4	-258.2 -31.3	-190.5 -25.2	-250.9 -30.7	-176.2 -23.7	-216.6 -27.7	-242.1 -29.9	283.7 13.12.1998	839.0 13.12.1978	808.4	839.0
Море Лабрадор	8.8	-14.4 -62.0	-41.8 -82.6	-10.9 -55.4	-1.2 -12.4	-9.3 -51.4	-40.5 -82.1	-86.3 -90.7	0.0 23.12.2022	394.6 11.01.1993	95.1	66.1
Дейвисов пролив	320.4	6.9 2.2	-65.4 -16.9	46.7 17.1	17.8 5.9	34.9 12.2	-4.9 -1.5	-44.9 -12.3	142.7 13.12.2010	709.4 09.01.1983	365.3	347.5
Канадский архипелаг	1066.1	-78.4 -6.9	-76.6 -6.7	-65.3 -5.8	-113.9 -9.7	-60.7 -5.4	-93.5 -8.1	-108.0 -9.2	981.5 20.12.2010	1190.1 13.12.1978	1174.1	1190.1

06-12.01

Регион	S, тыс. км2	Аномалии, тыс км2/%							1978-2025гг			
		2007 г	2012 г	2022 г	2023 г	2024 г	2015- 2025гг	1978- 2025гг	Минимум дата	Максимум дата	Среднее	Медиана
Южный Океан	5763.3	301.3	-687.6	1335.5	2067.3	956.6	594.1	120.2	3456.2	8716.8	5643.2	5562.4
		5.5	-10.7	30.2	55.9	19.9	11.5	2.1	12.01.2023	06.01.2015		
Атлантический сектор	2422.5	539.6	-977.4	815.9	811.6	187.0	316.5	170.6	1302.5	3881.4	2251.9	2192.5
		28.7	-28.7	50.8	50.4	8.4	15.0	7.6	12.01.1981	06.01.2015		
Западная часть моря Уэдделла	1772.3	532.9	-95.6	550.7	478.7	201.3	250.3	192.4	977.1	2189.7	1579.9	1591.9
		43.0	-5.1	45.1	37.0	12.8	16.4	12.2	12.01.2002	06.01.2013		
Восточная часть моря Уэдделла	650.2	6.7	-881.8	265.2	333.0	-14.3	66.3	-21.8	92.4	1782.7	672.1	639.0
		1.0	-57.6	68.9	104.9	-2.2	11.3	-3.2	12.01.1989	06.01.2012		
Индоокеанский сектор	709.3	-160.7	-81.4	-81.8	133.2	113.7	-104.6	-128.2	531.6	1242.7	837.6	823.7
		-18.5	-10.3	-10.3	23.1	19.1	-12.9	-15.3	12.01.2023	06.01.2014		
Море Космонавтов	177.7	1.8	-42.1	-2.5	9.6	60.5	-1.4	-11.5	55.0	410.7	189.2	190.5
		1.0	-19.2	-1.4	5.7	51.6	-0.8	-6.1	10.01.1998	08.01.2011		
Море Содружества	150.5	-193.0	-8.3	-27.8	37.9	50.0	-32.5	-34.9	44.0	391.5	185.4	181.0
		-56.2	-5.2	-15.6	33.7	49.7	-17.7	-18.8	12.01.1994	07.01.2021		
Море Моусона	381.1	30.5	-31.0	-51.5	85.7	3.3	-70.8	-81.9	255.2	724.5	463.0	456.2
		8.7	-7.5	-11.9	29.0	0.9	-15.7	-17.7	12.01.2011	08.01.2013		
Тихоокеанский сектор	2631.5	-77.6	371.2	601.4	1122.5	655.9	382.2	77.8	1384.1	3752.5	2553.7	2542.9
		-2.9	16.4	29.6	74.4	33.2	17.0	3.0	12.01.2023	06.01.2015		
Море Росса	2445.8	84.6	642.1	772.2	1012.9	737.1	538.2	280.2	1130.6	3445.9	2165.6	2149.3
		3.6	35.6	46.1	70.7	43.1	28.2	12.9	12.01.2019	06.01.2015		
Море Беллинсгаузена	185.6	-162.3	-271.0	-170.9	109.5	-81.2	-156.1	-202.4	69.8	682.7	388.0	393.6
		-46.6	-59.3	-47.9	143.8	-30.4	-45.7	-52.2	09.01.2023	06.01.1987		

13.12-12.01

Регион	S, тыс. км2	Аномалии, тыс км2/%							1978-2025гг			
		2007 г	2012 г	2022 г	2023 г	2024 г	2015- 2025гг	1978- 2025гг	Минимум дата	Максимум дата	Среднее	Медиана
Южный Океан	7705.5	236.2	-1005.9	1174.5	1879.4	981.2	508.8	-116.0	3456.2	12648.7	7821.5	7673.2
		3.2	-11.5	18.0	32.3	14.6	7.1	-1.5	12.01.2023	13.12.2007		
Атлантический сектор	3297.3	317.9	-1131.6	672.9	714.4	504.6	356.5	3.3	1302.5	6065.4	3294.1	3189.9
		10.7	-25.5	25.6	27.7	18.1	12.1	0.1	12.01.1981	13.12.2002		
Западная часть моря Уэдделла	2057.2	496.7	128.4	573.2	492.3	292.3	301.5	267.9	977.1	2316.2	1789.3	1833.8
		31.8	6.7	38.6	31.5	16.6	17.2	15.0	12.01.2002	21.12.2012		
Восточная часть моря Уэдделла	1240.1	-178.7	-1259.9	99.7	222.1	212.3	55.0	-264.6	92.4	3991.5	1504.8	1333.7
		-12.6	-50.4	8.7	21.8	20.7	4.6	-17.6	12.01.1989	13.12.2008		
Индоокеанский сектор	1002.5	-111.1	-187.5	-116.2	152.4	203.2	-69.0	-141.1	531.6	2405.8	1143.6	1088.8
		-10.0	-15.8	-10.4	17.9	25.4	-6.4	-12.3	12.01.2023	13.12.2010		
Море Космонавтов	228.9	-4.1	-43.4	-62.1	24.8	82.1	-16.3	-61.2	55.0	1030.8	290.1	251.6
		-1.8	-15.9	-21.4	12.2	55.9	-6.6	-21.1	10.01.1998	13.12.2010		
Море Содружества	285.3	-165.4	-39.9	-0.3	65.8	145.5	19.5	6.5	44.0	770.7	278.7	252.5
		-36.7	-12.3	-0.1	30.0	104.1	7.3	2.3	12.01.1994	13.12.1999		
Море Моусона	488.4	58.4	-104.2	-53.8	61.7	-24.4	-72.3	-86.4	255.2	1014.5	574.8	565.9
		13.6	-17.6	-9.9	14.5	-4.8	-12.9	-15.0	12.01.2011	13.12.2013		
Тихоокеанский сектор	3405.7	29.4	313.1	617.8	1012.6	273.4	221.2	21.9	1384.1	5314.4	3383.8	3394.8
		0.9	10.1	22.2	42.3	8.7	6.9	0.6	12.01.2023	13.12.1998		
Море Росса	3124.0	146.0	520.8	728.8	854.2	373.1	356.9	207.6	1130.6	4810.1	2916.4	2935.7
		4.9	20.0	30.4	37.6	13.6	12.9	7.1	12.01.2019	13.12.1998		
Море Беллинсгаузена	281.7	-116.6	-207.7	-110.9	158.4	-99.7	-135.7	-185.7	69.8	1027.4	467.5	463.8
		-29.3	-42.4	-28.3	128.5	-26.1	-32.5	-39.7	09.01.2023	13.12.1986		

Таблица 10 – Динамика изменения значений ледовитости по сравнению с предыдущей неделей для морей Северной полярной области и Южного океана за текущий 7-дневный (неделя) промежуток времени по данным наблюдений SSMIS

06-12.01				
Регион	Сев. полярная область	Сектор 45°W-95°E	Гренландское море	Баренцево море
Разность	461.4	201.6	55.6	63.9
тыс.кв.км/ сут.	65.9	28.8	7.9	9.1
06-12.01				
Регион	Карское море	Сектор 95°E-170°W	Море Лаптевых	Восточно-Сибирское море
Разность	35.9	107.7	0.0	0.0
тыс.кв.км/ сут.	5.1	15.4	0.0	0.0
06-12.01				
Регион	Чукотское море	Берингово море	Сектор 170°W-45°W	Море Бофорта
Разность	0.0	92.6	152.1	0.0
тыс.кв.км/ сут.	0.0	13.2	21.7	0.0
06-12.01				
Регион	Гудзонов залив	Море Лабрадор	Дейвисов пролив	Канадский архипелаг
Разность	111.4	0.1	-9.0	44.5
тыс.кв.км/ сут.	15.9	0.0	-1.3	6.4
06-12.01				
Регион	Южный Океан	Атлантический сектор	Западная часть моря Уэдделла	Восточная часть моря Уэдделла
Разность	-1188.8	-541.6	-213.3	-328.3
тыс.кв.км/ сут.	-169.8	-77.4	-30.5	-46.9
06-12.01				
Регион	Индоокеанский сектор	Море Космонавтов	Море Содружества	Море Моусона
Разность	-120.7	-37.9	-21.7	-61.2
тыс.кв.км/ сут.	-17.2	-5.4	-3.1	-8.7
06-12.01				
Регион	Тихоокеанский сектор	Море Росса	Море Беллинсгаузена	
Разность	-526.4	-498.8	-27.7	
тыс.кв.км/ сут.	-75.2	-71.3	-4.0	

Характеристика исходного материала и методика расчетов

Для иллюстрации ледовых условий Арктического региона представлены совмещенные региональные карты ААНИИ [4, 6], Канадской ледовой службы – КЛС [12], Национального ледового центра США – НЛЦ [10], Ледовой службы отделения Аляска НОАА [23] и НИЦ Планета [9]. Совмещение карт выполнено путем перекрытия слоев отдельных ледовых служб в зависимости от времени ледового анализа. Карты ААНИИ характеризуют ледовые условия морей Гренландского...Бофорта, карты НИЦ Планета – Азовского, Каспийского, Берингова, Охотского, Японского, карты НЛЦ – Северных частей Тихого и Атлантического океанов и Арктического бассейна, вод Гренландии, Ледовой службы отделения Аляска НОАА – Берингово, Чукотское моря, КЛС - морей Бофорта, Канадского архипелага, Баффина, Девисова пролива, Лабрадор, Св. Лаврентия. Для ледовых условий и распределения айсбергов Южного океана использованы данные проекта по интегрированному ледовому анализу Южного океана – циркумполярные карты ААНИИ [5, 7], НЛЦ [10, 11] и карты акватории Антарктического полуострова Норвежского метеорологического института (НМИ) [21]. Для построения совмещенных карт используется архив данных в обменном формате ВМО СИГРИД-3 [18] Мирового центра данных по морскому льду (МЦД МЛ) – проекта ВМО «Глобальный Банк Цифровых Данных по Морскому Льду». В пределах отдельного срока выборка карт из архива проводится по критериям близости карт к сроку выпуска карты ААНИИ с максимальным интервалом времени между картами до 7 суток (день недели выпуска карт ААНИИ – вторник, Ледовой службы отделения Аляска НОАА – ежедневно, НИЦ Планета – понедельник-четверг, КЛС – понедельник, НЛЦ – четверг/пятница для морского льда и четверг/пятница – для крупных айсбергов Южного океана, НМИ - понедельник).

Для иллюстрации полей толщин льда СЛО использованы ежедневные данные по распределению средневзвешенной толщины льда численной модели HYCOM-CICE Датского метеорологического института (ДМИ) [20]. Численная модель HYCOM-CICE имеет разрешение 10x10 км и является совместной моделью морского льда – океана. Портал полярных данных ДМИ [22] используется также как источник данных по оценке объема льда СЛО, температуры поверхности океана/морского льда, аномалий температуры воздуха и поля приземного ветра.

Для иллюстрации ледовых условий Северной Полярной области и Южного океана за последние сутки используются ежедневные циркумполярные ледовые информационные продукты НЛЦ США по оценке расположения кромки льда и ледяных массивов - MIZ (Marginal Ice Zone).

Для цветовой окраски карт использован стандарт ВМО (WMO/Td. 1215) [19] для зимнего (по возрасту) и летнего (по общей сплошности) периодов. Следует также отметить, что в зонах стыковки карт ААНИИ, Ледовой службы отделения Аляска НОАА, КЛС и НЛЦ наблюдается определенная несогласованность границ и характеристик ледовых зон вследствие ряда различий в ледовых информационных системах подготавливающих служб. Однако, данная несогласованность несущественна для целей интерпретации ледовых условий в рамках настоящего обзора.

Для оценки распределения толщин льда в морях СМП использованы совмещенные недельные данные дистанционного зондирования ИСЗ Cryosat-2 и Sentinel-3A,B (радиолокационная альтиметрия) и SMOS (пассивное микроволновое зондирование), подготавливаемые Институтом полярных исследований им. А.Вегенера (AWI) [24].

Для получения оценок ледовитости (extent) и приведенной ледовитости – площади льда (area) отдельных секторов, морей, частей морей Северной полярной области и Южного океана и климатического положения кромок заданной повторяемости на основе данных спутниковых систем пассивного микроволнового зондирования SSMR-SSM/I-SSMIS [17] в МЦД МЛ ААНИИ принята следующая технология расчетов:

- источник данных – архивные (Cavalieri et al., 2008, Meier et al., 2006) и квазиоперативные (Maslanik and Stroeve, 1999) с задержкой 1-2 дня ежедневные матрицы (поля распределения) оценок общей сплошности Северной (севернее 45° с.ш.) и Южной

(южнее 50° с.ш.) Полярных областей на основе обработанных по алгоритму NASATEAM данных многоканальных микроволновых радиометров SSMR-SSM/I-SSMIS ИСЗ NIMBUS-7 и DMSP за период с 26.10.1978 г. по настоящий момент времени [13, 14, 15], копируемые с сервера НЦДСЛ;

- область расчета – Северная и Южная Полярные области и их регионы с использованием масок океан/суша НЦДСЛ (http://nsidc.org/data/polar_stereo/tools_masks.html);
- границы используемых масок расчета отдельных меридиональных секторов, морей, частей морей Северной полярной области и Южного океана представлены на рисунках П1 – П6 в полярной равноплощадной проекции Ламберта [26], не совпадают с используемыми в НЦДСЛ масками для отдельных акваторий Мирового океана и основаны на цифровой основе Международной гидрографической организации [25], повторяющей по номенклатуре, но не совпадающей по границам (вследствие отсутствия цифроосновы) публикациям «Атлас Северного ледовитого океана (1980)» и «Атлас океанов» [1, 2, 3].
- вычислительные особенности расчета – авторское программное обеспечение ААНИИ с сохранением точности расчетов и оценке статистических параметров по гистограмме распределения и свободно-распространяемое программное обеспечение GDAL для векторизации полей климатических параметров;

В графическом формате PNG совмещенные карты ААНИИ-КЛС-НЛЦ Ледовой службы отделения Аляска NOAA доступны по адресу <http://wdc.aari.ru/datasets/d0040>.

Результаты расчетов ледовитости Северной, Южной полярных областей, их отдельных меридиональных секторов, морей и частей морей доступны на сервере МЦД МЛ ААНИИ в каталогах соответственно <http://wdc.aari.ru/datasets/ssmi/data/north/extent/> и <http://wdc.aari.ru/datasets/ssmi/data/south/extent/>.

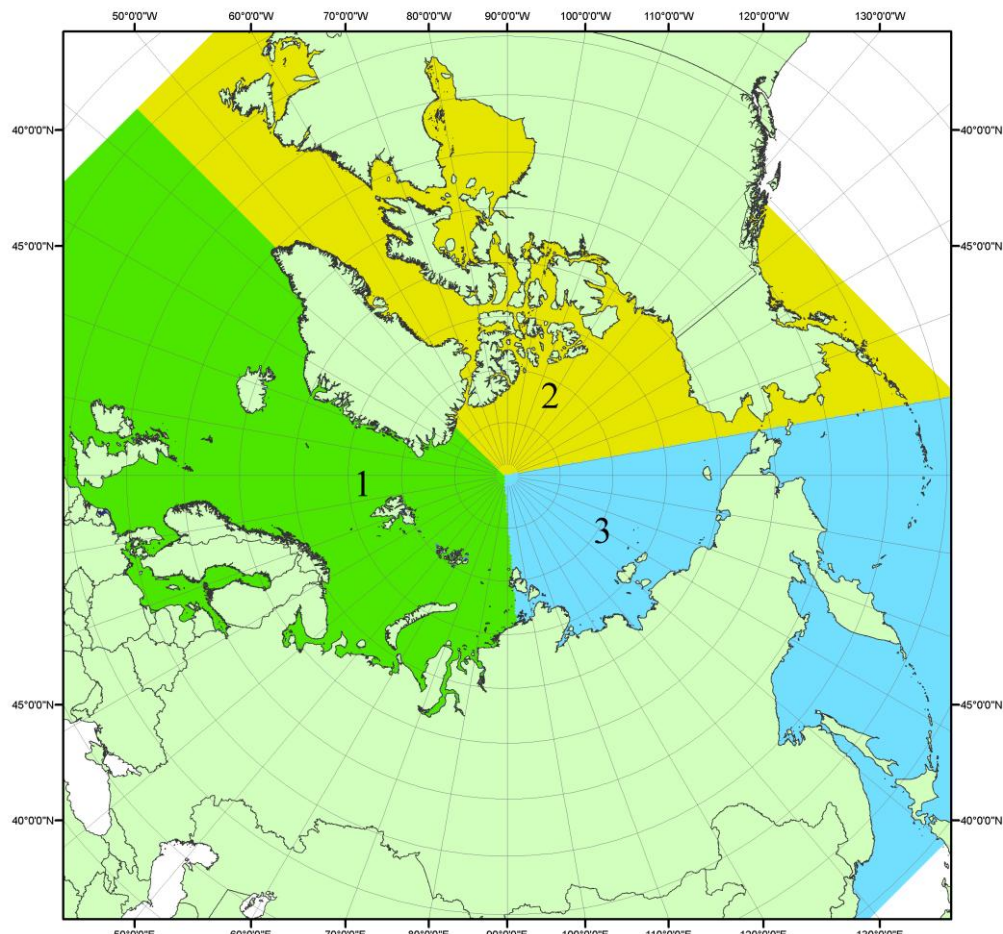


Рисунок П1 – Секторальное деление северной полярной области. 1 - Сектор $45^{\circ}\text{W}-95^{\circ}\text{E}$ (Гренландское - Карское моря); 2 - Сектор $170^{\circ}\text{W}-45^{\circ}\text{W}$ (море Бофорта и Канадская Арктика); 3 - Сектор $95^{\circ}\text{E}-170^{\circ}\text{W}$ (моря Лаптевых - Чукотское, Берингово, Охотское, Японское)

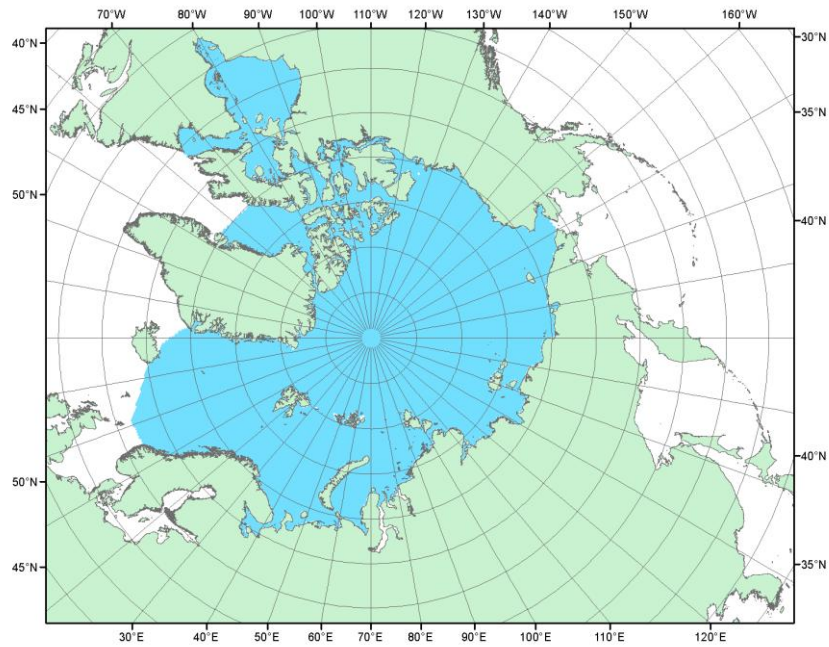


Рисунок П2 – Северный ледовитый океан в официальных границах

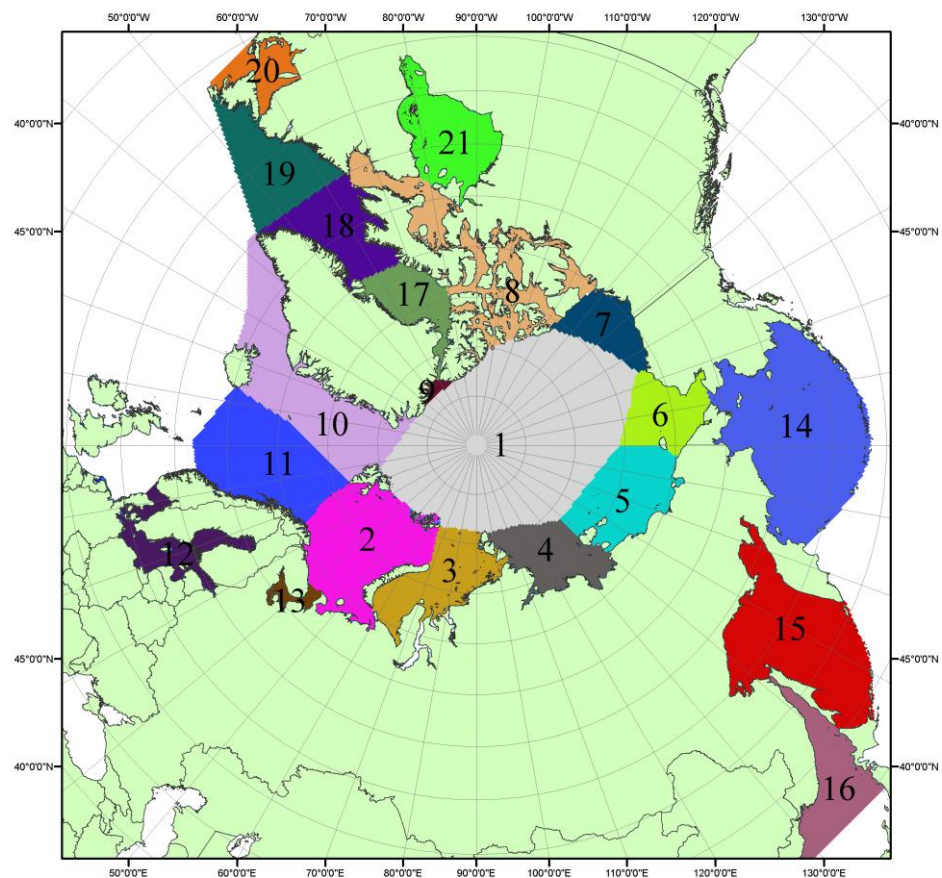


Рисунок П3 – Моря северной полярной области. 1 – Арктический бассейн; 2- Баренцево море; 3 – Карское море; 4 – море Лаптевых; 5 - Восточно-Сибирское море; 6 – Чукотское море; 7 – море Бофорта; 8 – Канадский архипелаг; 9 – море Линкольна; 10 – Гренландское море; 11 – Норвежское море; 12 – Балтийское море; 13 – Белое море; 14 – Берингово море; 15 – Охотское море; 16 – Японское море; 17 – море Баффина; 18 – Дейвисов пролив; 19 – море Лабрадор; 20 – залив Святого Лаврентия; 21 – Гудзонов залив.

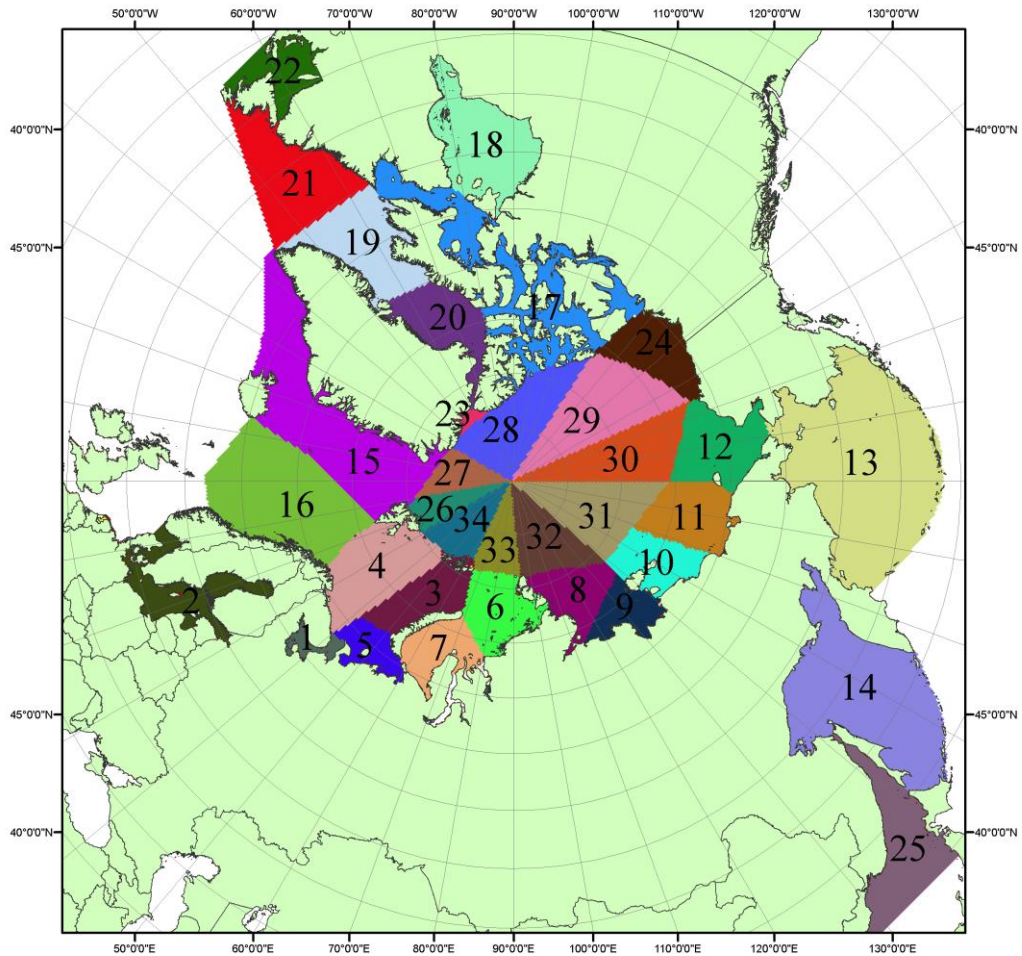


Рисунок П4 – Сектора и моря северной полярной области. 1 - Белое море; 2 - Балтийское море; 3 – Баренцево море (СВ); 4 – Баренцево море (3); 5 - Баренцево море (ЮВ); 6 – Карское море (СВ); 7 – Карское море (ЮЗ); 8 – море Лаптевых (В); 9 – море Лаптевых (3); 10 – Восточно-Сибирское море (3); 11 – Восточно-Сибирское море (В); 12 –Чукотское море; 13 –Берингово море; 14 – Охотское море; 15 –Гренландское море; 16 – Норвежское море; 17 – Канадский архипелаг; 18 – Гудзонов залив; 19 –Дейвисов пролив; 20 - море Баффина; 21 –море Лабрадор; 22 - залив Святого Лаврентия; 23 - море Линкольна; 24 - море Бофорта; 25 - Японское море; 26 - сектор АО (30° з.д. – 10° в.д.); 27 – сектор АО (10° в.д. – 30° в.д.); 28 - сектор АО (30° в.д. – 65° в.д.); 29 - сектор АО (65° в.д. – 96° в.д.); 30 - сектор АО (96° в.д. – 140° в.д.); 31 - сектор АО (140° в.д. – 180° в.д.); 32 - сектор АО (180° в.д. – 156° з.д.); 33 - сектор АО (156° з.д. – 123° з.д.); 34 - сектор АО (123° з.д. – 30° з.д.).

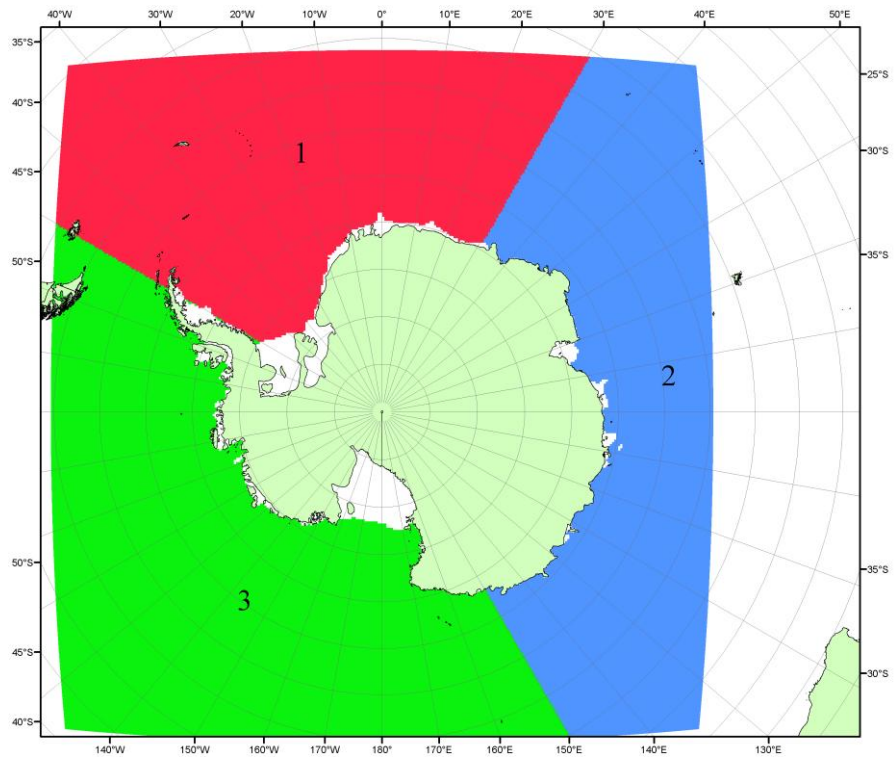


Рисунок П5 – Секторальное деление Южного океана. 1 - Атлантический сектор (60°W - 30°E , море Уэдделла); 2 - Индоокеанский сектор (30°E - 150°E , моря Космонавтов, Содружества, Моусона); 3 - Тихоокеанский сектор (150°E - 60°W , моря Росса, Беллинсгаузена)

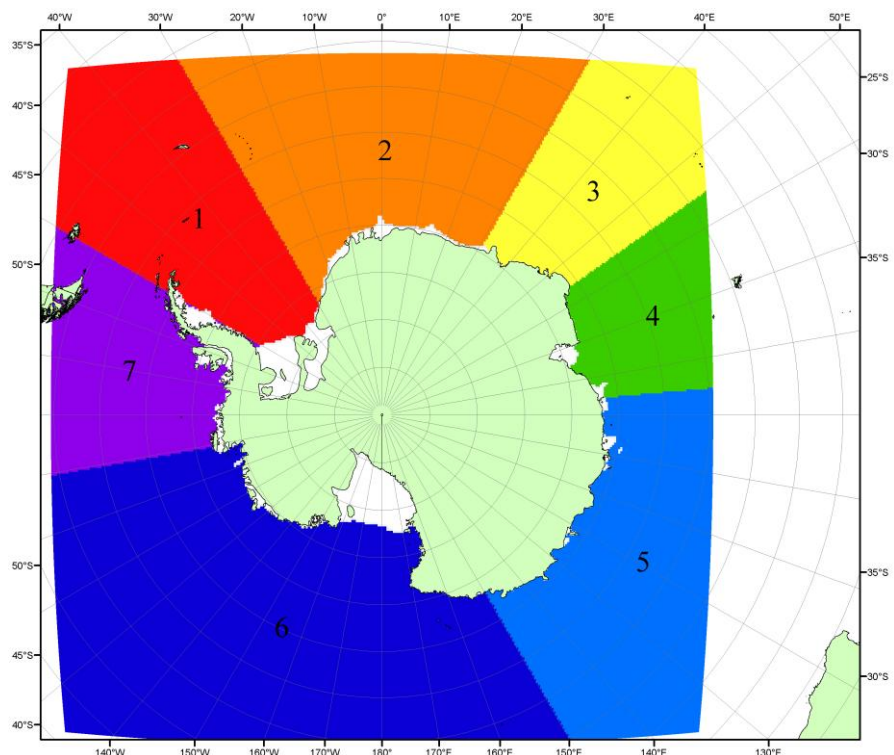


Рисунок П6 – Моря Южного океана. 1 – Западная часть моря Уэдделла; 2- Восточная часть моря Уэдделла; 3 – Море Космонавтов; 4 – море Содружества; 5 – море Моусона; 6 – море Росса; 7 – Море Беллинсгаузена.

Список источников

1. Атлас океанов. Северный Ледовитый океан. – 1980. М: Изд. ГУНИО МО СССР ВМФ – 184 с.
2. Атлас океанов. Термины. Понятия. Справочные таблицы. - Изд. ВМФ МО СССР.-1980.
3. Границы океанов и морей. – 1960. Л.: Изд. ГУНИО ВМФ. – 51 с.
4. Обзорные ледовые карты ФГБУ «ААНИИ» Северного Ледовитого океана за 2008-2018 гг. в обменном формате ВМО СИГРИД-3 // Мировой центр данных по морскому льду - Глобальный банк данных по морскому льду – <http://wdc.aari.ru/datasets/d0015>.
5. Комплексные ледовые карты ФГБУ «ААНИИ» Южного океана за 2014-2018 гг. в обменном формате ВМО СИГРИД-3 // Мировой центр данных по морскому льду - Глобальный банк данных по морскому льду – <http://wdc.aari.ru/datasets/d0015>.
6. Комплексные ледовые карты ФГБУ «ААНИИ» арктических и замерзающих морей России за 1997-2018 гг. в обменном формате ВМО СИГРИД-3 // Мировой центр данных по морскому льду - Глобальный банк данных по морскому льду – <http://wdc.aari.ru/datasets/d0004>.
7. Карты ФГБУ «ААНИИ» анализа крупных айсбергов Южного океана за 2014-2018 гг. в обменном формате ВМО СИГРИД-3 // Мировой центр данных по морскому льду - Глобальный банк данных по морскому льду – <http://wdc.aari.ru/datasets/d0015>.
8. Комплексные ледовые карты ФГБУ «Гидрометцентр России» Азовского, Каспийского и Белого морей за 2000-2017 гг. в обменном формате ВМО СИГРИД-3 // Мировой центр данных по морскому льду - Глобальный банк данных по морскому льду – <http://wdc.aari.ru/datasets/d0033>.
9. Комплексные ледовые карты ФГБУ «НИЦ Планета» Азовского, Каспийского, Берингова, Охотского и Японского морей за 2016-2018 гг. в обменном формате ВМО СИГРИД-3 // Мировой центр данных по морскому льду - Глобальный банк данных по морскому льду – <http://wdc.aari.ru/datasets/d0034>.
10. Комплексные ледовые карты Северной полярной области и Южного океана Национального ледового центра США за 2003-2018 гг. в обменном формате ВМО СИГРИД-3 // Мировой центр данных по морскому льду - Глобальный банк данных по морскому льду – <http://wdc.aari.ru/datasets/d0032>.
11. Карты анализа крупных айсбергов Южного океана Национального ледового центра США за 2014-2018 гг. в обменном формате ВМО СИГРИД-3 // Мировой центр данных по морскому льду - Глобальный банк данных по морскому льду – <http://wdc.aari.ru/datasets/d0032>.
12. Комплексные ледовые карты Канадской Арктики Канадской ледовой службы за 2006-2018 гг. в обменном формате ВМО СИГРИД-3 // Мировой центр данных по морскому льду - Глобальный банк данных по морскому льду – <http://wdc.aari.ru/datasets/d0031>.
13. Cavalieri, D., C. Parkinson, P. Gloersen, and H. J. Zwally. 1996, updated 2008. *Sea Ice Concentrations from Nimbus-7 SMMR and DMSP SSM/I Passive Microwave Data*, [1978.10.26 – 2007.12.31]. Boulder, Colorado USA: National Snow and Ice Data Center. Digital media.
14. Meier, W., F. Fetterer, K. Knowles, M. Savoie, M. J. Brodzik. 2006, updated quarterly. *Sea Ice Concentrations from Nimbus-7 SMMR and DMSP SSM/I Passive Microwave Data*, [2008.01.01 – 2008.03.25]. Boulder, Colorado USA: National Snow and Ice Data Center. Digital media.
15. Maslanik, J., and J. Stroeve. 1999, updated daily. *Near-Real-Time DMSP SSM/I-SSMIS Daily Polar Gridded Sea Ice Concentrations*, [2008.03.26 – present moment]. Boulder, Colorado USA: National Snow and Ice Data Center. Digital media.
16. Andersen, S., R. Tonboe, L. Kaleschke, G. Heygster, and L. T. Pedersen, Intercomparison of passive microwave sea ice concentration retrievals over the high-concentration Arctic sea ice.// *J. Geophys. Res.* – 2007. – Vol. 112. C08004, doi:10.1029/2006JC003543.
17. Статистические характеристики сплошности морского льда Северной полярной области и Южного океана на основе данных наблюдений SSMR-SSM/I-SSMIS, алгоритм NASATEAM // Мировой центр данных по морскому льду - Глобальный банк данных по морскому льду – <http://wdc.aari.ru/datasets/ssmi>.
18. SIGRID-3: A vector archive format for Sea Ice Georeferenced Information and Data - JCOMM Technical Report Series No. 23, 2014, WMO/TD-No.1214.

19. Ice Chart Colour Code Standard. - JCOMM Technical Report Series No. 24, 2004, WMO/TD-No.1215.
(http://jcomm.info/index.php?option=com_oe&task=viewDocumentRecord&docID=4914)
20. Danish Meteorological Institute North Atlantic - Arctic Ocean model HYCOM-CICE - <http://ocean.dmi.dk/models/hycom.uk.php>
21. Портал данных ледового анализа Южного океана Норвежского метеорологического института - <http://polarview.met.no/Antarctic.html>
22. Портал полярных данных Датского метеорологического института - <http://polarportal.dk>
23. Комплексные ледовые карты Берингова и чукотского морей Ледовой службы отделения NOAA Аляска в обменном формате ВМО СИГРИД-3 // <https://www.weather.gov/>.
24. AWI CryoSat-SMOS Merged Sea Ice Thickness - <https://spaces.awi.de/display/CS2SMOS/CryoSat-SMOS+Merged+Sea+Ice+Thickness>
25. Flanders Marine Institute (2018). IHO Sea Areas, version 3. Available online at URL: <http://www.marineregions.org/> (дата обращения 08.04.2023).
26. Полярная равноплощадная проекция Ламберта. URL: <https://epsg.io/3576> (дата обращения 07.04.2023).